

mais espesso o derrame, maior a quantidade de calor a dissipar, mais lento será o Por ser a última a resfriar, é a zona de maior grau de cristalização do derrame. Quantos

espessura, que é a zona mais espessa do derrame, constituindo de 50 a 90% da Esta origem influenciará em muitas das características físicas desta zona, como a espessura total do derrame.

colunar ou de fraturamento vertical, resultando fragmentos com forma de colunas, de onde advém seu nome de zona vertical, resultando intensamente no sentido perpendicular à maior dimensão, portanto no sentido estarem as zonas amigdaloides e vitrea no estado sólido, a rocha basáltica da zona colunar se fracturará intensamente. Como não há possibilidade de contrair como um corpo homogêneo e por movimento. Como cerca 50°C, que seria uma temperatura ambiente, nenhuma atingir a temperatura de cerca 50°C, que seria uma intensa contração contrária ao Aos 800-900°C, a lava já estaria totalmente solidificada e perderia intensa contração ao atingir a temperatura de cerca 50°C, que seria uma intensa contração contrária ao

demais zonas. Nestes estágios da consolidação, tem-se o derame constituído por um lago de lava ainda líquida, de quilômetros a dezenas de quilômetros de diâmetro, com suas bordas superior e inferior no estado sólido, restando a porção central, ainda no estado líquido. Portanto, esta zona será a última a resfriar, sofrendo um resfriamento bastante mais lento do que as demais zonas.

10.1.2.4 Caracterização geológica da Zona Colunar de um derame basáltico

Por ter espessura reduzida, pouco contribui para o armazenamento e fluxo da água no conjunto dos derames.

Nesta tabular predominante horizontal, produzindo fragmentos de forma tabular ou em tabuletes, com dimensões aproximadas de 10-20 centímetro, por 5-15 centímetro e 2-5 centímetro.

Apesar do fraturamento ser provocado pelo fluxo da lava em resfriamento, sua estrutura aparenta ser maciça, quando a rocha se mostra inalterada, mas o plano fluidal pode ser evidenciado pela alteração da rocha.

Sendo sua velocidade de resfriamento intermediária entre as demais zonas, sua textura mostreia um tamanho de grão intermediário. As texturas mais comumente apresentadas pela zona tabular correspondente a microcristalina.

Este fraturamento produz fragmentos em forma de placas, características que definem sua denominação. Com frequência, esta zona não ocorre e quando ocorre, sua espessura é reduzida, variando de zero a 20% da espessura total do pavimento.

10.1.2.3 Caracterização geológica da Zona Tabular ou de Fraturamento Horizontal

O intenso fraturamento lhe confere boa permeabilidade, mas por apresentar pedra maciça ou isotropa.

O rápido resfriamento, levava a formação de uma textura vitrea, ou seja, holohialina e por não apresentar gases e não sofrer influência do fluxo da lava, sua estrutura tenderá a

Em vários projetos elaborados em Santa Catarina, determinou-se a altitude do contato inferior do rochedo com o basalto, assim como seu contato superior, que também se dá com o basalto. No trecho Irami – Lindóia (SCO-488) o contato superior com o basalto foi inferior ao rochedo com o basalto, determinando assim a altitude de 1.049 m, que corresponde a uma espessura de no mínimo 102m.

Orograficamente, ocorre ainda de modo isolado em São Joaquim, Urupema, sul de Lages e Praia Grande.

Além dessa região, ocorrem ainda os municípios de Abelardo Luz, Xanxeré, São Domingos, Xaxim, Marema, Chapecó, Ponte Serrada, Águia Doca, Catanduvas, Irami. Continuamente, na região noroeste, abrangendo os municípios de Abelardo Luz, Xanxeré, São Domingos, Xaxim, Marema, Chapecó, Ponte Serrada, Águia Doca, Catanduvas, Irami.

Os derames ácidos hidroclíticos, ocorrem no Estado de Santa Catarina com certa intensidade, ocorrendo nos últimos eventos vulcânicos da Formação Serra Geral, os derames

não voltar a serem recobertos pelos derames basálticos.

Por ser um dos últimos eventos vulcânicos da Formação Serra Geral, os derames hidroclíticos ocorrem no topo dos derames basálticos, em grandes altitudes, podendo ou

ondulado suave, limitado, frequentemente, por escarpas.

No Rio Grande do Sul, tendo sido posteriormente identificadas em Santa Catarina. São rochas de coloração clara, cinza médio a clara, com textura microcristalina à porfira e mostaram uma estrutura fluidal, que provoca um intenso fracturamento no sentido horizontal e peso específico variável entre 2,5 a 2,7 g/cm³. O relevo formado é predominante ondulado suave, limitado, frequentemente, por escarpas.

Estas rochas formam pela primeira vez identificadas, claramente, por A. Roisemberg (1977) no Rio Grande do Sul, com teores de silica superiores a 52%, chegando a mais de 66%. Formaram mais ácido, com teores de silica superiores a 52%, chegando a mais de 66%. Formaram rochas que vão desde andesitos, trachitos, dacitos a riolitos, cujo conjunto é denominado de rochedo.

10.1.2.5 Caracterização geológica dos Derames Hidroclíticos

Quando exposta na superfície, tende a formar um relevo plano, limitado por encostas escarpadas. Sendo o derame um "lago" de lava, os contactos entre as diferentes zonas comandado pela dissipaçao do calor, resultando uma superfície aproximadamente plana, proxima da horizontal. Alternando-se a zona amigdaloide, o basalto columnar resistira, formando um relevo plano. Por ser constituído por prismas justapostos, coloquados verticalmente, as encostas tendem a mostar escarpadas pela queda de prismas interiores.

De altura de decímetros a metros (0,3 a 3 m). Por estarem estes prismas justapostos, com pedra aberta nos planos de fratura, a zona columnar tende apresentar menor permeabilidade, quando comparada com as demais zonas do derame.

O fraturamento no sentido vertical gera prismas que tendem a forma hexagonal, devido a contragão, verificado quando uma rocha homogênea resfria uniformemente. As dimensões da base destes prismas são da ordem de centímetros a decímetros (5 a 60 centímetro) e de altura de decímetros a metros (0,3 a 3 m). Por estarem estes prismas justapostos, com pedra aberta nos planos de fratura, a zona columnar tende apresentar menor permeabilidade, quando comparada com as demais zonas do derame.

Entre equigranular fino a microcristalina, podendo ser holohialina para derames de resfriamento e maior ser a grau de cristalizaçao. Desse modo, sua textura pode variar

Cabe aindaressar a importância da pedologia no estudo geotécnico, pelo fato de a normalmente negligenciados pela mecânica dos solos clássica, pois a maioria de seus pedologias dispensar grande atenção à estrutura do solo, apresentando detalhes, tem maior correlação, com as variações apresentadas pela rocha.

estrutura e mineralogia. Pela mesma razão, as características geotécnicas do horizonte C, tem maior relação com a rocha, pois preservam parcialmente, sua textura, reprovavelmente, na terraplanagem, quando é recomendada a sua estocagem, para posterior ambientes, nas obras a serem construídas. Por outro lado, recomendada a horizonte A tem menor interesse na engenharia, por ser, genericamente, recomendada a geotécnicas, especialmente das características pedológicas dos solos, com as principais na correlação com os solos a serem utilizada na engenharia.

10.1.2.7 Caracterização Pedológica

Especificamente na região de Chápeu, por serem os rios de grande declividade ou pouco expressivos, com vales encalhados, é reduzida a extensão dos depósitos aluvionares. Os depósitos coluvionares constituem outros Sedimentos Quarteados que ocorrem na região. São de natureza argilosa, de forma lenicular, sendo comum centro-matacões em seu meio.

Na região, predominam os depósitos continentais relativos a planícies com depósitos de inundações autáris, compreendendo cascalhos, assim como argilas de planícies fluviais e aluvionares que podem ser encontradas nos vales dos inúmeros rios, que correm na região. Os depósitos aluvionares formados nos rios e rachos que correm na região tendem ser argiloso, argilo silicosos.

Os Sedimentos Quarteados se caracterizam por serem inconsolidados e devido a seu ambiente de formação, tendem formar superfícies planas, de baixas cotas.

10.1.2.6 Caracterização geológica dos Sedimentos Quarteados

Alemb desse pontos, o contato inferior do riocacto foi observado em São Joaquim, na altitude aproximada de 1.280 m e em Urupema, na altitude aproximada de 1.630 m.

No trecho Abellardo Lutz – Vargearo o contato inferior foi constatado na estaca 1.520, com altitude de 862. A maior altitude de ocorrência do riocacto neste trecho, está na estaca 1.338, com a altitude 1.032 m, o que correspondeira a uma espessura de no mínimo 170m. Portanto, além da grande variabilidade, observa-se que este contato inferior pode ocorrer de 730 m; 1.095 com altitude de 402 m; na 1.272, com 452m; 1.370 com altitude de 562 m. No trecho da BR-282 (Xaxim) – São Domingos (SC-451) constatou-se grande variabilidade de altitude do contato inferior do riocacto, tendo sido determinado na estaca 207, na altitude de 814 m, estando a altitude máxima de ocorrência do riocacto no ponto final, na altitude de 1.10m, o que correspondeira a uma espessura de no mínimo 296m.

No trecho Praia Grande – Divisa (SC-450) o contato inferior foi constatado na estaca 659, na altitude de 814 m, estando a altitude máxima de ocorrência do riocacto no ponto final,

O litólico eutrófico ocorre principalmente na Serra do Irami, Serra do Chapecó e Serra da Fazenda. Suas características morfológicas ressaltam-se basicamente ao horizonte A, que varia normalmente de 15 a 40 cm de espessura, sendo que sua cor, textura, estrutura e consistência depende principalmente do material de origem e das condições climáticas vigentes. Abaixo desse horizonte podem ocorrer calhaus, pedras e materiais semi-arenosos das rochas em mistura com material desse horizonte ou ainda, pode o horizonte A estar diretamente assentado sobre a rocha, propiciando que a seqüência desse horizonte seja do tipo A, C e R ou A, C ou A/R.

Devido à proximidade do material de origem, possuem atividade de argila normalmente media ou alta.

As condições geotécnicas do perfil de intemperismo da zona amigdalóide melhoram sensivelmente, quando passa do horizonte C para o B. No horizonte B, dependendo de seu desenvolvimento pedogenético, especialmente no latossolo, a coloração predominante é avermelhada, apresentando freqüentemente características de solo

roxo, recomendável a sua indicação como empresário, muito menos como jazida de rios, com freqüência exigem a substituição do subleito de rochas e não sendo por estes apresentar ISC baixos, da ordem de 3-7% e expansividade entre 1,5 e 4%, condições que, purpuradas, evidenciam a presença de argilas expansivas. Estes solos tendem a características inferiores ao horizonte B, especialmente mostram cores rosas, caraterísticas inferiores ao horizonte C da zona amigdalóide mostra

Geotécnicamente, tem-se observado, que o horizonte C da zona amigdalóide mostra grande capacidade de troca iônica, devido a predominância de argilas do grupo das argilosas, que quando jovem, como o horizonte C, mostra-se muito plástico, expansivo, com solo, comparativamente com as demais zonas, originando um solo essencialmente granular, que se alterabilida, a zona amigdalóide tende formar maior espessura de esmectitas.

10.1.2.8.1.1 Solos derivados da Zona Amigdalóide

Estando os solos derivados intimamente relacionados com a rocha que lhe deu origem, torna-se necessário diferenciar a zona do derrama, em área de ocorrência de basalto.

10.1.2.8.1 Solos derivados da Formação Serra Geral

Para a obtenção das características geotécnicas gerais dos solos, coletou-se dados correspondentes unidas estratigráficas. Com esta metodologia foram obtidos os resultados em projetos de rochas, que formam análises e correlacionados com as segundas indícias geotécnicas gerais para os solos derivados de unidades geológicas:

Considerando-se as condições climáticas e de drenagem semelhantes, a rocha passa a constituir como um fator fundamental, determinante das características dos solos de terra aterrárea, especialmente em relação ao horizonte C. Assim, mudando a litologia, haverá a correspondente alteração do tipo de solo e, consequentemente, dos parâmetros geotécnicos.

10.1.2.8 Caracterização geotécnica dos solos

Especificamente na região, os solos Litolicos ocorrem associados aos Cambissolos eutróficos, em relevo montanhoso, a forte ondulado e ainda com Terra Roxa eutrófica. Em relevo montanhoso, a forte ondulado a ondulado.

Os solos Litolicos eutróficos, na sua grande maioria, são derivados de rochas eruptivas basálticas, e utilizados com milho, feijão, em menor proporção, com trigo, soja, batatinha, pastagens e demais culturas de subsistência.

São solos Litolicos eutróficos para a agricultura mecanizada, devido principalmente ao relevo acidentado, à pequena espessura e a presença de pedras, calhaus e matagais na superfície. A deficiência de água é também um fator limitante ao uso destes solos, pois a pouca profundidade não permite o armazenamento suficiente de água.

Estudio de Impacto da Implantação da Central de Tratamento de Resíduos Sólidos Industriais e Comerciais de Chapecó/SC - Junho/2001 10-14

U solo da zona colunar do basalto corresponde à o horizonte C, tendo apresentar uma coloração amarelo-a marrom avermelhado - avermelhada, onde predominam argilas do grupo das esmectitas e no horizonte B, com maior desenvolvimento pedogenético, um solo avermelhado a marrom avermelhado, onde predominam argilas do grupo das caulinitas.

Tab. 10.5 Solos formados da Zona Columnar do basalto

Na formação de um solo derivado da zona colunar do basalto, deve-se considerar a sua constituição mineralógica, textura e estrutura, pois tendo estrutura maciça, textura equigranular fina e sendo constituído por plagioclásio CANA (50%), piroxeno (30%), vidro (15%) e ópacos (5%), com tamanho menor que 1 mm, tenderá formar um solo silítico argiloso a argilo siltoso, no horizonte B, conforme mostra a tabela 10.5.

A espessura de solo da zona cinturada tende ser reduzida, variando trepidamente de zero a 4 m. A alteração tende produzir solos argilosos, sendo comum a existência de matacões e blocos em seu meio.

10.1.2.8.1.3. Solos delluvia dos da Zona Costeira

Devido a pedra espetacular deserta zona, seu solos derivados não são representativos, São apresentando importâncias na composição estatística do solo geotécnico. No entanto, devido sua textura várzea, alterado por desvitalificação, o intenso fracturamento, grande alterabilidade, produzem um solo essencialmente argiloso.

10.1.2.8.1.2 Solos derivados da Zona Vitréa

Nos solos da Zona Amigdaliode, e caracertisticco o baxio percentual de mattoes e blocos em seu meio, fatto relacionando ao seu intenso fraturamento e grande alterabilidade.

lateralmente. Neste horizonte, o ISC tende estar entre 8 e 14% e a expansividade de 0,5 a 1,5%.

Grandes escorregamentos tem se verificado, tendo como causa a alterabilidade diferencial entre as zonas do derame basáltico. Como as zonas amigdaloides, vitrea e tabular mostram uma alterabilidade bem maior do que a zona colunar, é comum ocorrerem escorregamentos de grandes proporções, pois o solo proveniente da alteração da zona amigdaloides, se mostra muito plástico e não suporta o peso da massa escorregante de forma quebrada, estabilizada somente e alargada, quando esta intercalada em acima. Nestes locais, a estabilidade somente é alcançada, quando esta rocha situa-se argiloso, plástico por contado. Tal condicionamento geotécnico tem se verificado em muitos cortes de rodovias implantadas no Estado.

Quando este condicionamento não é detectado previamente num corte, pode se inclinar um escorregamento de grande proporção, pois o solo proveniente da alteração da zona amigdaloides, estabilizado é muito instável, instabilizando também a rocha sotoposta.

expansivas, esta intercalada é por apresentar argilas intercaladas de solo na rocha. Por ser mais permeável e por apresentar argilas intercaladas de solo na rocha, esta instabilidade é muito intensa.

A grande maioria dos cortes em rocha basáltica mostram-se estáveis com inclinações 4:1 (V:H). Podem ser recomendada uma inclinação de até 3:2 (V:H), quando o fraturamento for muito intenso.

Outros solos que mostram instabilidade, são os depósitos coluviais, portanto transportados, derivados do basalto, especialmente quando apresentarem percolação de água.

A grande maioria dos solos derivados do basalto mostram estabilidade com inclinações de 1:1. Atenção especial deve ser dispensada, aos solos correspondentes ao horizonte C, da zona amigdaloides, quando sua coloração for rosa, purpura ou esverdeada, devido a grande plasticidade e expansividade da argila.

10.1.2.9.1 Estabilidade de taludes para a Formação Serra Geral

A estabilidade ou instabilidade dos solos derivados de talude tem relação com drenagem, estrutura, tipo de rocha e seus solos derivados. Observando-se a estabilidade dos cortes existentes nas diversas unidades estratigráficas e com diferentes inclinações de talude, consegu-se determinar um parâmetro de comportamento, que evidenciam que talude, considerando-se diversas unidades estratigráficas e com diferentes inclinações de talude, existentes nas zonas amigdaloides, quando sua coloração for rosa, purpura ou esverdeada, devido a grande plasticidade e expansividade da argila.

Outros solos que mostram instabilidade, são os depósitos coluviais, portanto transportados, derivados do basalto, especialmente quando apresentarem percolação de água.

A grande maioria dos solos derivados do basalto mostram estabilidade com inclinações de 1:1. Atenção especial deve ser dispensada, aos solos correspondentes ao horizonte C, da zona amigdaloides, quando sua coloração for rosa, purpura ou esverdeada, devido a grande plasticidade e expansividade da argila.

10.1.2.9.2 Estabilidade de taludes

Os solos derivados da zona tabular apresentam características semelhantes aos da zona colunar, com peduncações decorrentes da textura, estrutura e forma de ocorrência.

10.1.2.8.1.4 Solos derivados da Zona Tabular ou de Fraturamento Horizontal

Com freqüência, os solos correspondentes ao horizonte B, de coloração marrom avermelhada, podem ser classificados como solos lateríticos, devido ao elevar o teor de óxidos de ferro e de alumínio, sendo recomendável a indicação desse solo como caixa de emprestimo.

As regiões geomorfológicas se caracterizam por um comportamento ligadas a fatores climáticos atuais ou passados regionalmente e estão essencialmente ligadas a fatores climáticos atuais ou passados

No mapaamento geomorfológico, os tipos de modelados são separados de acordo com a genese e/ou energia do relevo e definidos sob o título de Modelados de Acumulação. Modelados de Apianamento e Modelados de Dissolução.

10.1.2.12 Geomorfologia

Já nas Terras Roxas Estruturadas a predominância da textura argilosa empresa menor quando a declividade for elevada, devido a percolação da água no contato solo/rocha.

Mesmo os Latossolos mostram certa sensibilidade à erosão, devido ao grumos formados pelas argilas e os hidroxídios de ferro e alumínio.

A maior sensibilidade à erosão é manifestada pelo horizonte C dos solos derivados do basalto, por formarem uma granulometria predominante siliosa e silico argilosa, onde o silt é um tamанho de grão muito sensível à erosão.

10.1.2.11 Sensibilidade à erosão

Estas características hidrogeológicas podem estar alteradas, quando falhamentos seccionam os diferentes derrames, interligando as zonas de maior e menor permeabilidade.

Em algumas regiões o contato entre derrames, ou seja, o contato da zona vitrea do derame superior, com a amigdaloidé do derame inferior, mostra uma descontinuidade e ocorrencia de derrames basálticos.

Este condicionamento hidrogeológico tem sido comprovado em pôulos turbulentos para águas, quando atravessa diversos derrames, há entrada de água em diversas cotas, que corresponde a possibilidade de escavações efetuadas pelas zonas amigdaloidé, vitrea e tabular.

Foi constatado também em conjunto formado pelas zonas amigdaloidé, vitrea e tabular, que ocorre a travessia de águas, característica pode ser observada na isotropa, que pode alcançar volumes expressivos. Esta característica pode ser observada na isotropa, que vazioz, que permite o fluxo da água, caracterizando uma permeabilidade anisotropa, que

esta condição hidrogeológica tem sido comprovado em pôulos turbulentos para águas, quando atravessa diversos derrames, há entrada de água em diversas cotas, que ocorre a travessia de águas, característica pode ser observada na isotropa, que

10.1.2.10 Características hidrogeológicas

O Planalto dos Campos Gerais fluncia o Rio Iguaçu e o Rio Uruguai. A bacia hidrográfica do Rio Iguaçu é dividida entre o Planalto dos Campos Gerais e a Bacia do Paraná. O Rio Iguaçu nasce no Parque Nacional do Iguaçu, na fronteira entre o Paraná e Mato Grosso do Sul, e desagua no Rio Paraná em Foz do Iguaçu. O Rio Uruguai nasce no Paraguai e desagua no Rio Paraná em Encarnação, no Paraná.

O Rio Iguaçu é o maior rio da Bacia do Paraná, com uma extensão de aproximadamente 1.300 km. Sua bacia hidrográfica abrange cerca de 100 mil km², sendo que 70% estão no Paraná e 30% no Mato Grosso do Sul. O Rio Iguaçu é formado por vários rios principais, como o Rio Grande, o Rio Tietê, o Rio Paraná e o Rio Paranaíba. O Rio Uruguai é o segundo maior rio da Bacia do Paraná, com uma extensão de aproximadamente 1.100 km. Sua bacia hidrográfica abrange cerca de 80 mil km², sendo que 60% estão no Paraná e 40% no Uruguai.

A Bacia do Paraná é uma das maiores bacias hidrográficas do Brasil, com uma extensão de aproximadamente 200 mil km². Ela abrange os estados do Paraná, Santa Catarina, Rio Grande do Sul e Mato Grosso do Sul. O Rio Paraná é o maior rio da Bacia do Paraná, com uma extensão de aproximadamente 1.600 km. Sua bacia hidrográfica abrange cerca de 180 mil km², sendo que 70% estão no Paraná e 30% no Mato Grosso do Sul. O Rio Paraná é formado por vários rios principais, como o Rio Grande, o Rio Tietê, o Rio Uruguai e o Rio Paranaíba.

O Rio Grande é o terceiro maior rio da Bacia do Paraná, com uma extensão de aproximadamente 1.200 km. Sua bacia hidrográfica abrange cerca de 20 mil km², sendo que 90% estão no Paraná e 10% no Mato Grosso do Sul. O Rio Grande é formado por vários rios principais, como o Rio Tietê, o Rio Paraná e o Rio Uruguai.

O Rio Tietê é o quarto maior rio da Bacia do Paraná, com uma extensão de aproximadamente 1.000 km. Sua bacia hidrográfica abrange cerca de 10 mil km², sendo que 90% estão no Paraná e 10% no Mato Grosso do Sul. O Rio Tietê é formado por vários rios principais, como o Rio Grande, o Rio Paraná e o Rio Uruguai.

O Rio Uruguai é o quinto maior rio da Bacia do Paraná, com uma extensão de aproximadamente 800 km. Sua bacia hidrográfica abrange cerca de 8 mil km², sendo que 90% estão no Paraná e 10% no Uruguai. O Rio Uruguai é formado por vários rios principais, como o Rio Grande, o Rio Paraná e o Rio Tietê.

O Rio Paranaíba é o sexto maior rio da Bacia do Paraná, com uma extensão de aproximadamente 600 km. Sua bacia hidrográfica abrange cerca de 6 mil km², sendo que 90% estão no Paraná e 10% no Mato Grosso do Sul. O Rio Paranaíba é formado por vários rios principais, como o Rio Grande, o Rio Paraná e o Rio Tietê.

A Bacia do Paraná é uma das maiores bacias hidrográficas do Brasil, com uma extensão de aproximadamente 200 mil km². Ela abrange os estados do Paraná, Santa Catarina, Rio Grande do Sul e Mato Grosso do Sul. O Rio Paraná é o maior rio da Bacia do Paraná, com uma extensão de aproximadamente 1.600 km. Sua bacia hidrográfica abrange cerca de 180 mil km², sendo que 70% estão no Paraná e 30% no Mato Grosso do Sul. O Rio Paraná é formado por vários rios principais, como o Rio Grande, o Rio Tietê, o Rio Uruguai e o Rio Paranaíba.

O Rio Grande é o terceiro maior rio da Bacia do Paraná, com uma extensão de aproximadamente 1.200 km. Sua bacia hidrográfica abrange cerca de 20 mil km², sendo que 90% estão no Paraná e 10% no Mato Grosso do Sul. O Rio Grande é formado por vários rios principais, como o Rio Tietê, o Rio Paraná e o Rio Uruguai.

O Rio Tietê é o quarto maior rio da Bacia do Paraná, com uma extensão de aproximadamente 1.000 km. Sua bacia hidrográfica abrange cerca de 10 mil km², sendo que 90% estão no Paraná e 10% no Mato Grosso do Sul. O Rio Tietê é formado por vários rios principais, como o Rio Grande, o Rio Paraná e o Rio Uruguai.

O Rio Uruguai é o quinto maior rio da Bacia do Paraná, com uma extensão de aproximadamente 800 km. Sua bacia hidrográfica abrange cerca de 8 mil km², sendo que 90% estão no Paraná e 10% no Uruguai. O Rio Uruguai é formado por vários rios principais, como o Rio Grande, o Rio Paraná e o Rio Tietê.

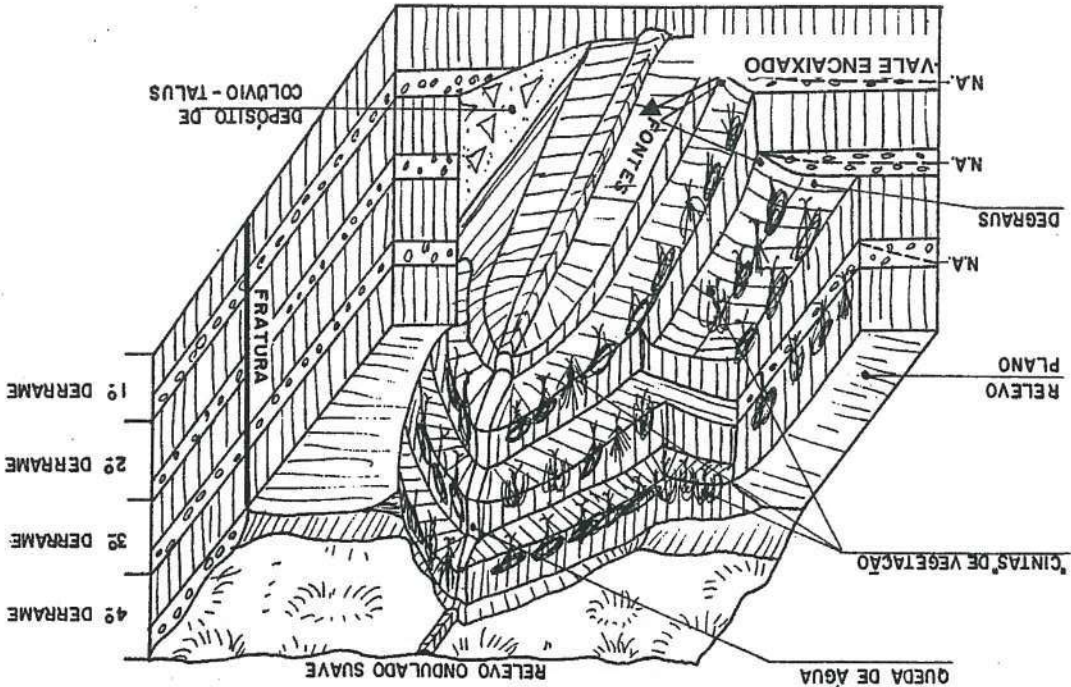
O Rio Paranaíba é o sexto maior rio da Bacia do Paraná, com uma extensão de aproximadamente 600 km. Sua bacia hidrográfica abrange cerca de 6 mil km², sendo que 90% estão no Paraná e 10% no Mato Grosso do Sul. O Rio Paranaíba é formado por vários rios principais, como o Rio Grande, o Rio Paraná e o Rio Tietê.

Estes combinações estão situados topograficamente acima das áreas circundantes (Planalto Dissécano Rio Iguaçu/Rio Uruguay) e correspondem a restos de uma superfície de planalto desenrolvida ao longo dos principais rios da área como o Canoas, processo de dissécação que ocorre em blocos ou compactamentos e consequência de erosão hidrográfica. A fragmентаção em blocos ou compactamentos é resultado da ação de rios que escavam profundamente os canais de drenagem, criando depressões entre os blocos que se tornam lagos ou rios secos.

relêvo fisiognomicamente semelhantes em seus tipos de modelados. e/ou fatores litológicos. As unidades geomorfológicas consistem no arranjo de forma de Camps Novos e Planalto de Chapéco. Especificamente a região de Chapéco é uma unidade geomorfológica do Planalto dos Campos Gerais (Atlas de Santa Catarina - GAPLAN - 1986).

A presençā da águia, em solo argiloso gerado pela alteração das zonas tabulares, vitrea e amigdaloidal, favorece o crescimento da vegetação, originando "cintas de vegetação" ao longo da encosta do vale, aproximadamente em uma mesma cota. Estas "cintas de vegetação" formam-se sobre derrames, pois podem ser utilizadas como critério de basálticos e do número de derrames, pois que possuem as zonas dos derrames identificá-los, quando os degraus não são pronunciados na encosta.

Fig. 10.3 Morfologia dos dermames basálticos no sul do Brasil



Outra característica também identificada por V. Leinze (1949) para os derreamos basálticos, é o aparecimento de fontes, surgiéndolas de águas na encosta do vale, nas faixas compreendidas pelas zonas tabulares, vitrea e amigdaloide. Isto se deve a maior permeabilidade destas zonas em comparação com a zona colunar. Desta modo, há um fluxo horizontal da água, que é secionado pela encosta.

Já a zona colunar, por ser constituida por prismas alongados de basalto, dispõe-se na vertical, tendo-a gerar uma superfície escarpada na encosta. Desta forma, a encosta do vale que mostre uma sucessão de escarpas, se apresentará com a forma em degraus, tendo escarpa, onde ocorre a zona colunar e suavizá-la, onde ocorre o conjunto zona tabular, visto a e amigalhado, como pode ser visualizado na figura 10.4.

O conjunto formado pelas zonas tabulares, vitrea, de um derframe superior e amigdaloide do interior, mostram uma alterabilidade maior do que a zona colunar e produzirão solos argilosos. Como os solos argilosos tendem a produzir relevo ondulado suave, este relevo se manifesta na encosta como um suavizado.

10.1.2.1 Geomorfologia dos desafames basálticos

O derame inferior tem a zona amigdaloidé entre as cotas 626 e 623 m, com coloração castanha avermelhada, vesículas e amigdalas. Segue a zona colunar desse derame,

constituída por um basalto cinza escuro, equigranular fino, maciço (Fig. 10-4).

Sob esta zona amigdaloidé alterada, ocorre o basalto colunar do derame superior, entre as cotas 647 e 626 m, formado por um basalto equigranular fino, cinza escuro, maciço,

com fraturamento espacado de 10 a 80 cm (Fig. 10-5).

O horizonte C varia de silício argiloso a argilo silílico, com coloração amarelo avermelhada e espessura de 2 a 2,5 m. Neste local da pedreira, os solos derivados da zona amigdaloidé solo argilo silílico, avermelhado, com pedra e matrizes de basalto em seu meio.

O horizonte B é pouco espesso, formando um solo argilo silílico amarelo, enquadado no horizonte C variável entre as cotas 652 e 647 m. Esta zona amigdaloidé mostre-

se totalmente alterada a solo, representada por seis horizontes B e C (Fig. 10-5).

O derame superior pode ser visto na bancada superior da pedreira, onde a zona amigdaloidé está posicionada entre as cotas 652 e 647 m. Esta zona amigdaloidé mostra-

se totalmente alterada a solo, representada por seis horizontes B e C (Fig. 10-4).

Nesta pedreira, distinguem-se dois derames basálticos denominados de derame inferior e derame superior na bancada inferior da pedreira (ver mapa geológico).

O derame superior ocorrem maior número de derames em cotas inferiores (ver mapa geológico). O derame superior pode ser observado na bancada superior da pedreira e o derame inferior na bancada inferior da pedreira (Fig. 10-4).

Baldissera, proxima, em exploração, pois as exposições dos derames basálticos permitem uma boa visualização das zonas dos derames e a determinação das cotas de contato.

Na investigação da geologia da Área I, torna-se indispensável observar a Pedreira Baldissera (ver mapa geológico – anexo 6).

A Área I está situada junto aos galpões que formam a Central de Tragagem, Venda, Armazenamento Provisório, logo a nota é a desse da estrada que dá acesso à Pedreira Baldissera.

10.1.2.13.1 Localização da Área I - alternativa para o aterro industrial

Nas inspeções preliminares, foram identificadas duas áreas com potencial para a instalação do aterro sanitário industrial, identificadas como Área I e Área II.

10.1.2.13 Estudo de alternativa de áreas para o aterro industrial

Além de alternar o comportamento hidrogeológico, os talhamentos podem alterar também as características geomorfológicas da drenagem, pois podem fazer com que a drenagem passe a escorrer ao longo de direções comandadas pela estrutura da rocha, caracterizando um drenagem encaxiada, que pode apresentar diferentes padrões.

Quedas, Serra do Rio do Rastro, Apaрадos da Serra. Feições como esta, podem ser identificadas com facilidade na Catarratas do Iguaçu,

sondagem, com a identificação da sucessão das zonas.

Outra possibilidade de identificação do número de derames basálticos, consiste na observação direta por encaminhamento de campo, ao longo de uma estrada, através de

zonas com a identificação da sucessão das zonas.

A maior permeabilidade da zona amigdaloide, comparativamente à zona colunar fica evidenciada, quando se observa a bancada inferior da pedreira e constata, que a auga percolada ao longo da zona amigdaloide, como pode ser visto na foto nº 03.

Segundo-se pela estrada que dá acesso à Pedreira Baldisserra, portanto o limite leste da Área I, constata-se no talude, entre as linhas B e C a ocorrência do horizonte C do riocacto porfiro, correspondendo a cota 675 m. Nestes mesmos taludes, entre as linhas C e D, afora o riocacto porfiro alterado e entre as linhas D e E o riocacto está sao. Este riocacto é de coloração marrom avermelhada, textura porfira, na qual se destaca os feldspato potássicos de 0,5 a 0,8 cm, euédricos, imersos em matriz microcristalina. A rocha mostra planos claros, que correspondem aos planos fluidais, por onde a rocha tende fracturar (Fig. 10-7).

Oeste do galpão da Central de Triagem, Venda, Armazenaamento Provisório, na área de tratamento de efluentes, o basalto colunar afiora, na cota 661 m, indicando ocorre mais um derame basáltico acima da bancada superior da pedreira.

A maior parte da Área I, situada entre as cotas 660 e 670 m (Fig. 10-8), está encoberta por um depósito coluvial, formado por uma argila siliosa avermelhada, com pedra, matacões e blocos em seu meio. Este depósito coluvial deve estar assentado sobre a zona colunar do derame superior identificado na pedreira.

O questionário foi utilizado de duas formas, através de mala direta enviada às empresas pre-selecionadas e através de pesquisa de campo, onde um entrevistador foi pessoalmente obter as informações nas empresas escolhidas.

Dessas listas foram feitos cruzamentos e pre-selecionou-se 168 establecimentos industriais e comerciais, dentre os quais estavam os maiores geradores de resíduos no município.

- ACIC – Associação Comercial e Industrial de Chápecó – lista dos associados;
- FATMA – Fundação do Meio Ambiente de Santa Catarina – lista das empresas licenciadas ou em processo de licenciamento.
- Prefeitura Municipal de Chápecó - Empresas ganhadoras do "Troféu o Desbravador" no ano de 1999;

Para escolha das empresas que seriam inventariadas, foram pesquisadas três listas de empresas no município, que tiveram as seguintes origens:

O inventário consistiu na elaboração de um questionário resumido e objetivo, onde os aspectos inventariados formam a produtão, o número de empregados, os resíduos gerados, o destino atual dos resíduos e a forma de coleta dos mesmos.

O inventário teve o apoio fundamental da ACIC – Associação Comercial e Industrial de Chápecó e da Prefeitura Municipal de Chápecó.

O inventário obtém a informação que é o resultado de um inventário Municipal de Resíduos Industriais e Comerciais.

Devido a falta de dados consistentes em relação a geragão de resíduos industriais obtengão dessas informações através de um inventário Municipal de Resíduos Industriais oriundos de grandes geradores comerciais no município de Chápecó, buscou-se a obtenção dessas informações a geragão de resíduos industriais e comerciais.

6.3.2 Pesquisa de dados da geragão atual

Em virtude disso, dectidiu-se pela realização de um novo inventário de resíduos industriais comerciais no município de Chápecó.

Todos esses fatos destacam a inexistência de dados em relação a quantidade e tipologia dos resíduos industriais no município de Chápecó.

O programa de Gerenciamento Ambiental liberal, também com o objetivo de diagnosticar a distribuição cerca de 600 questionários, mas não obtive resultados satisfatórios, devido ao geragão de resíduos industriais no município de Chápecó, de janeiro a junho de 2000,

Apesar da resolução CONAMA Nº 06 de 15 de junho de 1989, ter determinado aos órgãos ambientais a elaboração do inventário Nacional de Resíduos Sólidos Industriais, este

efetivamente não aconteceu em todo estado de Santa Catarina.

6.3.1 Fontes de dados existentes

Industriais e comerciais

6.3 Caracterização qualitativa e quantitativa da geragão de resíduos

Os dados obtidos nas entrevistas e nas respostas da malha direta foram homogeneizados e tabulados, de forma que, foi possível fazer a avaliação qualitativa e quantitativa em toneladas mensais geradas.

6.3.3 Análise de dados

As empresas pre-selecionadas formam agrupadas por ramo industrial e comercial, e dentro de cada ramo seletionados os principais geradores, e estes, foram visitados pessoalmente por um entrevistador que obteve as informações diretamente na fonte geradora. Dessa forma, a metodologia utilizada no inventário, proporcionou segurança e confiabilidade nos dados obtidos, pois dados discrepantes recebidos através da malha direta poderiam ser detectados através dos dados obtidos nas entrevistas às empresas de ramos similares.

Fonte: Inventário Municipal de Resíduos Industriais e Comerciais de Chapecó (PROSUL - 2000)

Ramo Industrial / Comercial	número de estabelecimentos pre-selecionados	Total de estabelecimentos pre-selecionados
Metal mecânica	38	168
Madeira	17	
Papel, papelão	1	
Tintas	1	
Produtos químicos	5	
Plásticos	12	
Calçados	1	
Alimentícias	31	
Bebidas	1	
Construção civil	9	
Fibras (fábricas de câmaras frigoríficas e caixas d'água de fibra)	6	
Postos de combustíveis	13	
Oficinas mecânicas	14	
Confecções	8	
Agropecuárias	5	
Borrachas	6	
Total de estabelecimentos pre-selecionados		168

Tab.6.1 – Estabelecimentos pre-selecionados a serem inventariados

Das principais resíduos classe I identificados foram tecidos contamindados por óleo combustível oriundos de postos de gasolina e oficinas mecânicas, solventes restantes da impeza de pegas, lampadas e resíduos de chumbo e zinco resultantes de processos de galvanização.

Das 159 empresas consideradas para os resultados finais, foram inventariadas estimadas 1.798 toneladas por mês de geragão de resíduos, que tem os seguintes destinos:

Tipo de resíduo (NBR 10004)	[Unidades]	Fonte: Inventário Municipal de Resíduos Industriais e Comerciais
Resíduos perigosos (classe I)	19.3	Resíduos inerteres (classe III)
Resíduos não inerteres (classe II)	1736.8	Resíduos inerteres (classe III)
Resíduos perigosos (classe I)	41.8	Resíduos inerteres (classe III)
Resíduos perigosos (classe I)	231.3	Resíduos inerteres (classe III)
Resíduos não inerteres (classe II)	2084.8	Resíduos inerteres (classe III)
Resíduos perigosos (classe I)	510.8	Resíduos inerteres (classe III)

Tab. 6.2 – Resumo quantitativo e qualitativo dos resíduos gerados

Os resultados finais obtidos nas campañhas do Inventário Municipal de Resíduos Sólidos Industriais e Comerciais do município de Chápecó, são apresentados de forma sintética e resumida, com base em dados levantados e extrapolados, as quantidades geradas por empresas, com base em dados levantados e extrapolados, que equivale a 94% do universo das empresas pre-selecionadas.

Foram deixadas fora do processo de extrapolação, 9 (nove) empresas pre-selecionadas, pertencentes ao ramo de construção civil, por não haver dados levantados de empresas do mesmo ramo empresarial.

Foram deixadas fora do processo de extrapolação, 9 (nove) empresas pre-selecionadas, respondem ao questionário enviado no inventário.

Com base nos dados levantados nas empresas efetivamente inventariadas, dos grupos de empresas de ramos similares e do porte de valores de geragão de resíduos para as empresas que não uma extrapolaga dos valores de geragão de resíduos para as empresas que não respondem ao questionário enviado no inventário.

Dos 168 establecimentos pre-selecionados para o inventário, obteve-se resposta a 27 empresas, de diversos ramos industriais que equivale a 16% do universo pre-selecionado.

6.3.4 Conclusões

- desenvolvimento das técnicas de reciclagem;
- atratividade do município à implantação de novas indústrias;
- comportamento macro econômico, etc.

que poderão influenciar nesse crescimento, tais como: geragão de resíduos do setor é uma tarefa difícil, devendo ao grande número de variáveis de resíduos, e fazer perspectivas em relação ao crescimento industrial à geragão de tecnologias produtivas, não se pode achar diretamente o crescimento industrial à geragão apena uma estimativa, pois, sabe-se que nos dias de hoje, com a implementação de projeto para a variação da geragão de resíduos industriais no futuro, mas, sem dúvida, é projeto de 5,0% a.a. para fazer uma

Como parâmetro a ser usado nos estudos de vida útil do emprendimento, será usado o valor de 1.064 toneladas por mês (ver tabela 6.3), que equivalem a 35,4 toneladas por dia, a qual será aplicada uma taxa de 5,0% a.a. de crescimento.

Em virtude do retorno parcial dos questionários enviados, os resultados finais apresentados, principalmente os ligados às quantidades geradas no município de Chapecó, podem apresentar discrepâncias em relação às quantidades realmente geradas.

Com relação ao número de respostas ao inventário realizado, pode-se concluir que o setor industrial (com exceção das grandes indústrias que formam entrevisitadas), e as grandes empresas comerciais do município, mais uma vez, como conciliu o inventário realizado em junho de 2000 pelo programa libere (op. Citi), não colaboraram efetivamente na divulgação das informações enviadas, os resultados de todos os dados.

Destaca-se na tabela 6.3 a quantidade de 1064 toneladas por mês, que equivalem a 35,4 toneladas por dia, as quais tem como destino final o aterro sanitário municipal, composto principalmente por resíduos oriundos de postos de gasolina e de grandes oficinas mecânicas.

Dentre os outros destinos mencionados estão principalmente, a queima dos resíduos, o tratamento dos resíduos na própria empresa e a coleta por terceiros que dão o destino final, e este é desconhecido.

Fonte: Inventário Municipal de Resíduos Industriais e Comerciais

Destino	Quant. [T/mes]	%
Comercializado	35,9	
Reaproveitado	1,6	
Reciclado na fonte	0,3	
Depositado no aterro sanitário municipal	1064	59,2
Estocado	2	0,1
Outros destinos	53	2,9

Tab. 6.3 – Destino dos resíduos inventariados

Na região sul do município de Chápecó, existe a reserva indígena demarcada de Toledo Chimbangue ($A=988 \text{ ha}$), inserida nas bacias dos rios Japeados Lambedor e Jajeados São Vélio ambos afluentes do rio Irami.

7.3 Reservas indígenas

Existem iniciativas para implantação de um contorno rodoviário no município de Chápecó, rodovia que liga a SC-468, vinda do Rio Grande do Sul, com a BR-282, que cruza o estado de Santa Catarina no sentido leste / oeste. O trânsito provê a passagem pela área pelo lado leste, alcançando a BR-282, próximo ao município de Coronel Fritas. Tal empreendimento facilitaria o acesso do distrito industrial para a Ceric, e viabilizará o transporte de resíduos perigosos vindos das regiões noroeste e central do estado.

7.2 Contorno rodoviário de Chápecó

A instalação do distrito industrial na localidade de Rodéo Cható e a instalação da Ceric Chápecó/SC na localidade de Águia Amarela, fará com que estes dois empreendimentos relativamente pequenos e que não passaram por áreas densamente urbanizadas. Atualmente, as maiores empresas instaladas no município de Chápecó, estão localizadas na região oeste da área urbana, consequentemente o trajeto do trânsito de resíduos para a Ceric Chápecó/SC passaria por uma região intensamente urbanizada e central do município.

No intuito de promover o crescimento industrial chapecoense, existe na prefeitura de Chápecó a previsão da implantação de um distrito industrial na localidade denominada Rodéo Cható, na direção sul do município.

7.1 Distrito industrial municipal de Chápecó

A verificação de programas colocalizados visa, numa escala de planejamento estratégico regional, mapear quaisquer planos ou projetos previstos que possam influenciar ou sejam influenciados pela implantação daquela indústria, assim como, fazer um levantamento dos empreendimentos similares existentes na região, procurando destacar informações que apontem para a viabilidade econômica de sua realização.

7 PROGRAMAS COLOCALIZADOS



Na FUNAI, existem identificadas e em processos de demarcação as reservas indígenas Toledo Chimbangue II ($A=968$ ha) e Aldeia Condá ($A=2300$ ha), a primeira localizada a montante da reserva Toledo Chimbangue e a segunda localizada na bacia do rio Monte Allegre.

Na FUNAI, existem identificadas e em processos de demarcação as reservas indígenas Toledo Chimbangue II ($A=968$ ha) e Aldeia Condá ($A=2300$ ha), a primeira localizada a montante da reserva Toledo Chimbangue e a segunda localizada na bacia do rio Monte Allegre.

A presença de tais reservas indígenas, em regiões que, de acordo com o plano diretor municipal, apontam os vetores de crescimento industrial, trazem nesse momento, as preoccupações e aletras para o devido controle e monitoramento das atividades desenvolvidas nas regiões a montante das bacias onde as reservas estão inseridas, visando preservar os recursos hídricos, uma vez que são recursos indispensáveis para a qualidade de vida das comunidades indígenas.

- Constituiçao Federal de 1988 - apresenta no Título VIII - Da Ordem Social - três capítulos de importância em relação as questões socio-ambientais: Capítulo III - Educagão, Da Cultura e do Desporto, Capítulo VI - Do Meio Ambiente e Capítulo VIII - Dos Indios. Nestes capítulos são instituições cuidados e restrições em relação a Dos Indios. Nestes capítulos são instituições cuidados e restrições em relação a utiligação dos recursos naturais e ao patrimônio cultural. Em especial, amplia o conceito de responsabilidade e a possibilidade de sangão civil e penal para os órgãos do setor público. Destaca-se, ainda que, em seu Artigo 5º item LXXXIII, determina que ao meio ambiente e ao patrimônio histórico e cultural.
- Lei N° 6.938/81 - estabelece a Política Nacional de Meio Ambiente, que tem por objetivo "a preservação, melhoria e recuperação da qualidade ambiental propicia a vida, visando assegurar, no país, condições ao desenvolvimento socio-econômico, aos interesses da segurançaa e a proteção da dignidade da vida humana..."; constitui o Sistema Nacional do Meio Ambiente - Sisnama; e institui o Cadastro de Defesa Ambiental. A Lei estabelece, ainda, entre outros instrumentos da Política Nacional de Meio Ambiente, o licenciamento pelo órgão ambiental competente, a revisão

Para o tratamento das questões ambientais dispõe-se hoje, no Brasil, de um arcabouço legal e institucional composto por diversos instrumentos legais. Os principais instrumentos de apoio aos procedimentos para o licenciamento ambiental estão estabelecidos pela legislação ambiental em vigor:

8.1 Legislação ambiental relacionada ao licenciamento ambiental

Assim, a implantação de aterros sanitários, processamento e destinação final de resíduos tóxicos ou perigosos, bem como de suas diversas atividades associadas ou complementares, deverão ser objeto de licenciamento ambiental.

O processo de licenciamento ambiental reflete, como atualmente estabelecido, uma busca de participação crescente da população nos procedimentos decisórios, quer pelo tipo de envolvimento do órgão licenciador, quer pela revisão de situações de discussão entre os

O licenciamento ambiental é um procedimento administrativo através do qual o Poder Público, estatal ou federal, exige dos interessados em desenvolver atividade potencial ou efetivamente poluidora, a elaboração de estudo de impacto ambiental, planos de controle ambiental e programas de monitoramento. Em contrapartida, o Poder Público outorga ao interessado as licenças ambientais cabíveis.

A Constituição Federal, promulgada em 1988, determina, em seu artigo 225 que: "Iados tem o direito ao meio ambiente ecológicamente equilibrado, bem de uso comum do povo e essencial a sadia qualidade de vida, impõndo-se ao Poder Público e a coletividade o dever de defendê-lo e preservá-lo para as presentes e futuras gerações". Processo, incumbindo o Poder Público de exigir, para instalação de obra ou atividade potencialmente significativa degradagão do meio ambiente, estudo prévio de impacto ambiental, ao que se dará publicidade.

8 ASPECTOS LEGAIS DO EMPREENDIMENTO

Decreto Lei nº 1.413, de 14/08/75;

Decretos

Cabe citar os seguintes instrumentos legais pertinentes aos resíduos industriais.

- **Legislação pertinente aos resíduos industriais**

Ambiente.

- Resolução CONAMA Nº 237/97 - rege os procedimentos e critérios utilizados no licenciamento ambiental, de forma a efetivar a utilização do sistema de licenciamento como instrumento de gestão ambiental, instituído pela Política Nacional do Meio Ambiente.

alternativas.

- Resolução CONAMA Nº 002/96 - estabelece que, para fazer face a preparação dos danos ambientais causados pela destruição de florestas e outros ecossistemas, o licenciamento deve empregar critérios de redução de impacto ambiental que, de forma a serem atendidos pelo empreendedor, a implementação deve ser realizada de forma a não causar impactos ambientais adicionais.

Resolução CONAMA Nº 006/88 - dispõe sobre o licenciamento ambiental de atividades industriais geradoras de resíduos perigosos.

- Resolução CONAMA Nº 001/88 - estabelece critérios e procedimentos básicos para a exploração de recursos naturais e suas modalidades, direcionados à preservação ambiental, previsto na Lei Nº 6.938/81.

Resolução CONAMA Nº 009/87 - dispõe sobre a realização pública para recolhimento dos presentes assentamentos e sugestões a respeito.

Resolução CONAMA Nº 020/86 - estabelece a classificação das águas doces, salobras e salinas segundo seu uso predominante.

Resolução CONAMA Nº 006/86 - estabelece os modelos de publicação de pedidos de licenciamento, em que aquele de suas modalidades, sua renovação e a respeitiva concessão da licença.

- Resolução CONAMA Nº 001/86 - estabelece que o licenciamento de atividades modificadoras do meio ambiente depende da elaboração de EIA e de respeitivo Rima a serem submetidas a aprovação dos órgãos ambientais competentes. Dentro das atividades exemplificadas, constam os atores sanitários, processamento e destino final de resíduos tóxicos ou perigosos.

Resolução CONAMA Nº 99.274/90 - regulamenta a Política Nacional do Meio Ambiente e estabelece que dependerão de licenciamento os potenciais impactos ambientais que utilizam recursos ambientais, consideradas efetivas ou potencialmente poluidoras ou capazes de causar degredação ambiental e que serão exigido EIA e respeitivo Rima para fins do licenciamento.

atividades efetiva ou potencialmente poluidoras, o Cadastro Técnico Federal de atividades potenciais poluidoras ou utilizadoras dos recursos ambientais (atuado pelo Lei Nº 7.804/89) e a avaliação de impactos ambientais.

- **Legislação municipal**
 - Lei Complementar nº 04/90 – institui o Plano Diretor Físico-Territorial de Chapecó, onde consta normas gerais de controle ambiental, de proteção das águas e do solo e do controle dos resíduos sólidos.
- Lei nº 14.250 de 05 de junho de 1981, que regulamenta os dispositivos da Lei nº 5.793/80, referentes à proteção e a melhoria da qualidade ambiental. Como ponto de Destrecho nº 14.250 de 05 de junho de 1981, que regulamenta os dispositivos da Lei nº 5.793 de 15 de outubro de 1980, que dispõe sobre a proteção e melhoria da qualidade ambiental.
- Lei nº 5.793 de 15 de outubro de 1980, que dispõe sobre a proteção e melhoria da qualidade ambiental e da outras providências. Essa lei, ressalva a competência da União, estabelece normas gerais visando a proteção e melhoria da qualidade ambiental.
- Decreto nº 14.250 de 05 de junho de 1981, que regulamenta a melhoria da licença ambiental previa, de instalação e de operação.

- **Legislação estadual**
 - Decreto nº 76.389, de 03/10/75;
 - Decreto nº 88.821, de 06/10/83;
 - Decreto nº 96.044, de 18/04/88;
 - Decreto nº 98.816, de 11/01/90;
 - Decreto nº 875, de 19/07/93;
 - Portaria nº 53, de 01/03/79;
 - Portaria nº 157, de 26/10/82;
 - Portaria nº 261, de 11/04/89;

O Decreto Nº 99.274/90 establece que depende do licenciamento do órgão ambiental competente as atividades capazes de causar degredação ambiental e que será exigido EIA e respectivo Rima para fins do licenciamento, contendo: diagnóstico ambiental, descrição da ação proposta e suas alternativas e identificação, análise e previsão dos impactos significativos, positivos e negativos.

8.2. Estudio de impacto ambiental - EIA e Relatório de impacto ambiental - Rima

O artigo 10 § 1º da Resolução CONAMA N° 237/97, estabeleceu ainda que no procedimento de licenciamento ambiental deverá constar obrigatoriedade, as certidões das prefeituras municipais dos municípios abrangidos pelo empreendimento, declarando que o local é o tipo de empreendimento ou atividade estabe em conformidade com a legislação aplicável ao uso e ocupação do solo.

II - Licença de Instalação (LI) - autoriza a instalação e funcionamento da atividade de acordo com as especificações constantes dos planos, programas e projetosprovados, incluindo as medidas de controle ambiental e demais condicionantes da qual constituem motivo determinante.

Esta resolução em seu Artigo 3º estabelece que a licença ambiental para empreendimentos causadores de significativa degradação ao meio dependerá de estudo prévio de impacto ambiental (EIA) e respectivo relatório de impacto sobre o meio ambiente (Rima), ao qual dar-se-á publicidade, garantida a realização de audiências públicas, quando couber, de acordo com a regulamentação.

No Artigo 8 fica estabelecido que o Poder Público, no exercício de sua competência de controle, expedirá as seguintes licenças:

De acordo com o Artigo 2º da Resolução CONAMA N. 237/97, a localização, construção, ampliação, modificação e operação de empreendimentos que instalam, utilizam, armazenam ou transportam resíduos sólidos, devem ser realizadas de forma que não cause danos à saúde humana e ao meio ambiente, de modo a não comprometer a integridade ambiental, dependerão de previsão licenciamenta do órgão ambiental competente, sem prejuízo de outras licenças legamente exigíveis.

- Procedimentos relacionados ao licenciamento ambiental

Quando couber, de acordo com a regulagão continental, o organo ambiental pertinente pedira esclarecimentos e completasse decorações de audiências públicas podendo

Sua realização, regulamentada pelas Resoluções CONAMA nº 009/87, nº 001/86 e nº 009/87, determina a competência ambiental para a elaboração de estudos ambientais, bem como a competência para a concessão de licenças ambientais, respeitando os critérios estabelecidos na legislação ambiental.

A realização de audiências públicas e vinculada ao processo de análise e aprovação do EIA e do RIMA é tem por finalidade expor aos interessados o conteúdo destes estudos, dirimir desacordos e recolher críticas e sugestões.

8.3 AUDIENCIA PÚBLICA

A LP seria emitida após a análise de validade, exigências de monitoramento dos impactos e pública, contendo as condições de validade, exigências de monitoramento dos impactos e competente poderá solicitar informações complementares e realizar visita da área de influência do provavelmente.

O EIA e o RIMA devem ser elaborados por técnicos habilitados, que serão responsáveis tecnicamente pelos resultados apresentados (Decreto N° 9927/90, Art. 17, § 2º e Resolução CONAMA N° 001/86, Art. 74). Técnicos ou empresas deverão estar regularmente registrados no Cadastro Técnico Federal de Atividades e Instrumentos de Defesa Ambiental, administrado pelo IBAMA (Resolução CONAMA N° 001/88, Art. 14).

O órgão ambiental competente tem atribuições conferidas pela legislação ambiental e poderá estabelecer instruções adicionais ou requerer complementações.

Cabe ao proponente do projeto apresentar arcar com todos as despesas e custos referentes a elaboração do EIA (tais como: coleta de dados e informações, trabalhos de inspeções de campo, análises de laboratório, estudos técnicos e científicos e acompanhamento e monitoramento dos impactos), elaborado do Rio e formecimento das cópias necessárias (Decreto N° 99.274/90, Art. 17, § 2º e Resolução CONAMA N° 001/86, Art. 84).

Na elaboração do EIA e do RIMA, deve-se atender aos princípios, objetivos e diretrizes expressos na legislação ambiental, em especial a Lei de Política Nacional do Meio Ambiente, 6938/81 e Resolução CONAMA Nº 001/86, Art. 5º. O RIMA deve ser apresentado de forma objetiva e adequada a sua compreensão. As informações devem ser traduzidas em linguagem acessível, ilustradas por mapas, cartas, quadros, graficos e demais técnicas de comunicação visual, de modo que se possam entender as vantagens e desvantagens do projeto, bem como todas as consequências ambientais de sua implementação (Resolução CONAMA Nº 001/86, Art. 9º, § único). O RIMA deve ser acessível ao público (Decreto Nº 99.274/90, Art. 17, § 3º e Resoluções CONAMA Nº 001/86, Art. 11).

Segundo a Resolução CONAMA N° 001/86, atentos sanitários, processamento e destino final de resíduos tóxicos ou perigosos. Dependendo de elaboração do EIA e respectivo

- Decreto nº 1.361, de 01/01/95.
- MP nº 752, de 06/12/94;
- Decreto nº 335, de 11/11/91;
- Lei nº 8.029, de 12/04/90;
- Portaria nº 07, do Ministério da Cultura, de 01/12/88;
- Lei nº 4.845, de 19/11/65;
- Lei nº 3.924, de 26/07/61;
- Lei nº 3.866, de 29/11/41(44);
- Decreto-Lei nº 25, de 30/11/44;
- Constituição Federal, nos seus artigos 5º, 20, e 216;

Os principais textos legais sobre o assunto são:

O permissionário está obrigado a informar, trimestralmente o andamento dos trabalhos, não podendo impedir a inspeção, quando julgada conveniente, por delegado especialmente designado.

O IPHAN deverá responder o pedido em 90 (noventa) dias e a permissão ou autorização deve ser reválida a cada dois anos.

Prova de idoneidade financeira do projeto.

- plano de trabalho contendo a definição dos objetivos, conceituação e metodologia,
- delimitação da área de abrangência do projeto;
- dados do arqueólogo responsável, com prova de idoneidade técnico-científica;

Para realização de escavações para fins arqueológicos é necessária a obtenção prévia de permissão ou autorização do Instituto Histórico e Artístico Nacional - IPHAN, vinculado ao Ministério da Cultura, regulamentada pela Portaria Nº 07/88. O pedido deve ser apresentado de:

Constituem patrimônio cultural, protegido pela Constituição a natureza material e imaterial portadores de referência a identidade, a saga, a memória dos diferentes grupos formadores da sociedade brasileira, entre os quais se incluem os sítios detentores de remanescentes históricas dos antigos quilombos.

Constituem patrimônio cultural, protegido pela Constituição a natureza material e imaterial portadores de referência a identidade, a saga, a memória dos diferentes grupos formadores da sociedade brasileira, entre os quais se incluem os sítios

8.4 PESQUISAS ARQUEOLÓGICAS E DE PATRIMÔNIO HISTÓRICO

haver reiteração da solicitação quando os escavações e complementações não tenham sido satisfatórios.

9 ÁREAS DE INFLEUÊNCIA DO EMPREENDIMENTO

Os ventos nadar mais São que o deslocamento das massas de ar. Estudos mais profundos em relação a climatologia local, concordam que a região em estudo sofre influência das perturbações que ocorrem devido a movimentações de massas de ar que atuam na região. No verão, devido ao aquecimento continental que aumenta os ventos oceânicos fracos do atlântico e o anticiclone da antártica, evidenciando os ventos tropicais continentais se entrelaçam com o aumento das pressões do antíclino do atlântico para o continente, juntamente com o aumento das pressões do anticlino da

10.1.1.3 Venitos

A temperatura média nos meses de inverno, está entre 13° e 15°C, mas com invernos rigoroso, podendo chegar a temperaturas próximas a 0°C. Nos meses de verão, a temperatura média é 22° a 24°C, temperaturas mais amenas, entre 20° e 22°C, são registradas em parte do município de Chápecó, coincidindo com os locais de maior altitude, o que estabelece para o planalto de Chápecó temperaturas médias anuais situando-se em torno de 16° a 18°C.

10.1.1.2 Temperatura

Segundo a classificação climática de Köppen, o clima predominante na região é super úmido, mesotérmico, com pouco ou nenhum déficit de água e as quatro estações do ano bem definidas.

Chapéco (SC)	Latitude	Longitude	Altitude	Fonte: Invenário das Estações Meteorológicas
	27°05'25" S	52°38'07" W	668,0 m	

Tab. 10.1 Localização geográfica da estação meteorológica de Chapingo

Para o estudo dos traóteres intervenientes na formação do clima da região, foram utilizados dados relativos a precipitação, temperatura e elementos atmosféricos, obtidos junto a estação meteorológica de maior proximidade do local do empreendimento, que corresponde à estação da EAGRI registrada junto a ANEEL, pelo código 23041000, situada na cidade de Chapéu.

10.1.1.1 Coleta de dados

10.1.1 Clima

10.1 Meio físico

10 DIAGNOSTICO AMBIENTAL

A presença de formações florísticas, também exerce influência no comportamento dos ventos, que afetam os processos de evaporação e condensação, e que nesse caso influenciará principalmente nas dispersões das emissões gassosas e odoríferas que sejam formadas na área.

Nos bosques, a diminuição da radiação solar que encontra o solo, exerce influência na temperatura e pressão do vapor d'água, onde dependendo da espécie e da densidade da floresta podem ocorrer diminuições de temperatura de 3º a 4º C no verão e 1º C no inverno. No que se refere a umidade relativa do ar média, pode-se superar até um aumento de 25-30% no verão e 8-10% no inverno (Lopez, et. al, 1995).

Alguns fenômenos microclimáticos, relacionados a dois aspectos: a presença de formigões vegetais em diversos estágios de regeneração circundando a área e o posicionamento de árvores hidrográfica em relação ao deslocamento de massas de ar.

Na área destinada à execução do empreendimento em análise, é conveniente destacar que a diminuição da radiação solar que encontra o solo, exerce influência na temperatura e pressão do vapor d'água, onde dependendo da espécie e da densidade da floresta podem ocorrer diminuições de temperatura de 3º a 4º C no verão e 1º C no inverno. No que se refere a umidade relativa do ar média, pode-se superar até um aumento de 25-30% no verão e 8-10% no inverno (Lopez, et. al, 1995).

10.1.1.5 Microclima

	jan.	fev.	mar.	abr.	mai.	jun.	jul.	ago.	set.	out.	nov.	dez.	U[%]
	72,06	75,61	75,36	76,22	78,22	77,73	73,42	70,95	70,78	70,74	69,98	70,48	

Tab. 10.3 - Valores médios de umidade relativa do ar.

Fonte: Epagri de Chapecó (1999)

Os valores referentes à média da umidade relativa do ar obtidos na cidade de Chapecó, são apresentados na tabela 10.3.

A região se caracteriza por não ter déficit de umidade, sendo que, como constatado, a umidade relativa da região gira em torno de 70%, mas alcançando valores próximos a 90% em dias de temperatura elevada nos meses de verão. Devido ao aumento da evaporação real, causada pelos condições meteorológicas, há um aumento da umidade relativa do ar.

Pressão de vapor d'água presente na atmosfera, consequentemente elevando a umidade relativa do ar.

10.1.1.4 Umidade relativa do ar

	jan.	fev.	mar.	abr.	mai.	jun.	jul.	ago.	set.	out.	nov.	dez.	V[km/h]
	5,40	5,40	5,04	5,04	5,4	6,48	7,20	6,48	6,84	6,48	6,12	6,12	

Tab. 10.2 - Média da velocidade dos ventos.

Fonte: Epagri de Chapecó (1999)

SE é segundada predominância NE. A velocidades média anual do vento na região é de 6 (seis) km/h e a variação das médias mensais são apresentadas na tabela 10.2.

Antartica, caracterizando os ventos da região, como predominância principal na direção

Dos 95.985 km² da área do Estado de Santa Catarina, 51,5% estão cobertos por derrames basálticos da Formação Serra Geral. Cobre todo oeste do Estado, a partir da Serra Geral, penetrando na Argentina. Exceções ocorrem apenas no Município de Vargemão, onde aflora, em uma pedreira área, o arenito Botucatu e outras áreas, onde o riocatto recobre o basalto. Em Lages, as rochas subjacentes ao basalto afloram, interrompendo a continuidade da ocorrência dos derrames.

A Formação Serra Geral é caracterizada por derrames basálticos, com suas feições típicas, podendo ou não apresentar rochas vulcânicas acicadas em seu topo, constituídas por rodações. Pode ocorrer também sob a forma de diques e sills de diabásio.

A quase totalidade do oeste, meio oeste e extremo oeste do Estado de Santa Catarina está recoberta por rochas, que constituem a Formação Serra Geral.

10.1.2.3.3 Formação Serra Geral

A Coluna estratigráfica adotada, foi a apresentada no Mapa Geológico do Estado de Santa Catarina, na escala 1:500.000, contido no "Textos Básicos de Geologia e Recursos Minerais de Santa Catarina", coordenado por Luiz Carlos da Silva e Carlos Alfredo Bottoluzzi, DNP-M-CRM, Nº 1, publicado pelo Convênio DNP - Sec. Ciências Technologias, Minas e Energia, Florianópolis, 1987, conforme na tabela 10.1.

As unidades estratigráficas que apresentam interesse no projeto são a Formação São Fernando e os Sedimentos Quaternários, cujas características geológicas são apresentadas, seguirem:

10.1.2.1 Geología regional

10.1.2 Geología

O posicionamento geográfico da bacia do rio Monte Algeire, com as feições de suas encostas voltadas para o sul, e na ocorrência de ventos vindos do quadrante sul, onde massas de ar quente e úmido existentes dentro da bacia, formadas pelos processos de evapotranspiração, são empurradas para a montante da bacia, e devido as declividades acidentadas das encostas, tem uma elevação rápida, atingindo zonas com pressões extremas menores, o que gera a expansão da massa de ar e consequentemente a perda de energia do sistema, essa perda de energia acontece com o resfriamento da massa de ar. Esse fenômeno, chamado de esfriamento dinâmico acelera os processos convectivos e formação de chuvas orográficas localizadas. (Vilela, et. al, 1975).

Estudos comprovaram que em regiões de bosques, dependentes da alta densidade do bosque, as reduções nas velocidades dos ventos podem chegar a 5% no solo em relação a velocidades nas copas das árvores. Este efeito físico é preferitamente explicado pela equação da velocidade dos fluidos de Prandtl, onde a pressão de uma formação vegetal causa um aumento da rugosidade na superfície sobre a qual a massa ar se moveimenta, influenciada pelo gerador de perturbação de até 12 m sobre formações vegetais altas, 1,0m sobre capoeiras baixas e 0,1m sobre gramíneas (Lopes, et. al, 1995).

A Serra Geral, que limita a ocorrência dos derames basálticos a leste, constitui um conjunto de elevações que se alongam seguindo uma linha noroeste - sudeste, partindo de Porto União, ao norte, seguindo em direção a Bom Retiro, quando passa a se desenvolver no sentido norte - sul, ou seja, segue em direção à Praia Grande.

Em Santa Catarina, num trabalho de determinação da espessura média de cada derame, chega-se a uma espessura de 35 m. Pelas sondagens de Presidente Epitácio (SP), efetuada pela PETROBRAS, conclui-se por uma espessura média de 49 m para os derames, em 31 derames determinados, numa espessura total de basalto de 1.529 m (Brazilian Gondwanan Problems, 1967). No entanto, a espessura dos derames pode ser variável, podendo ir de poucos metros até 100 m ou mais.

Pelo Mapa de Isopácas (fig. 10.1) constata-se que a espessura dos derames basálticos é superior a 1.000 metros, no noroeste do Estado, de Abelardo Luz a São Lourenço do Oeste e na região de São Joaquim, está entre 1.000 e 500 metros. Nas demais regiões sua espessura é inferior a 1.000 m.

Sondagens efetuadas pela PETROBRAS determinaram espessuras de 426 metros em Matos Costa; 157 metros em Marombas; 497 metros em Lebon Régis, com 19 derames; 492 metros em Cagador; 675 metros em Herval Velho; 543 metros em Piratuba, com 12 derames; 748 metros Machadinho (RS). Outros dados de espessura de basalto foram obtidos através de sondagens efetuadas pela CPRM, em Concórdia, com 420 metros, São Miguel do Oeste, com 1.200 metros. A Pauli Petró numa sondagem efetuada em São Miguel do Oeste, com 48 metros e a Eletrossil perfurou 430 metros em basalto em Ita.

ERA		PERÍODO	ESTRATIGRAFIA			
CENOZOICA		Quaternário	Sedimentos Continentais	COLUNA ESTRATIGRÁFICA		
MESOZOICA	Jurássico	Cretáceo	Formação Serra Geral	Formação Botucatu	Formação Botucatu	Formação Botucatu
P	E R M	Superior	Grupo Passa Dois	Gruta	Guata	Tubarão
D	A N O	Medio	Formação Palermo	Formação Rio Bonito	Formação Rio Bonito	Carboneiro
PALÉOZOICA	Devoniano	Formação Fumars	Formação Campo Alegre	Formação Vale dos Granados	Suite Intrusiva Guabiruba	Eo-Paleozóico
P	E R M	Superior	Formação Campo Alegre	Seg. Vila Canica Inferior	Seg. Vila Canica Inferior	PROTEROZOICA
P	E R M	Inferior	Formação Gaspard	Seg. Vila Canica Superior	Conglomerado Bau	Medio
P	E R M	Inferior	Formação Gaspard	Seg. Vila Canica Intermediária	Granito Valisnigana	Inferior
ARQUEOZOICA	Núcleo Migmatítico	Núcleo Migmatítico	Injéção Iapemema	Núcleo Francisco Linha-Grão	São Francisco Sul	Faixa Rosalimata/Tijucas
P	E R M	Núcleo Migmatítico	Núcleo Migmatítico	Sao Francisco Sul	Faixa Granito-Gnaissica	Faixa Gnaissica Itajaí-
P	E R M	Inferior	Complexo Taboleiro	Complexo Taboleiro	Complexo Taboleiro	Faixa Gnaissica Garopaba
P	E R M	Inferior	Complexo Metamórfico	Brasque	Complexo Granulítico de Santa Catarina	Faixa Granito-Gnaissica Itajaí-
Boroluzzzi, 1987	Tab. 10.4. Coluna estratigráfica do Estadão de Santa Catarina, segundo L. C. Silva e C. A.					

A espessura da zona amigdaloide é muito variável. Dependendo da velocidade de resfriamento do derrame, quantidade de vapor e gases, espessura do derame. Comumente esta espessura varia de zero a 50% da espessura total do derrame. Devido ao rápido resfriamento, a parte superior tende apresentar textura holohialina ou vitrea, podendo passar a microcristalina na porção mais interna do derrame. Sua estrutura fica caracterizada como amigdaloide e ou vesicular, justamente devido a presença de estrelas estruturais.

O fraturamento da zona amigdaloide é intenso, sendo o espaçamento das fraturas da ordem de centímetros a decímetros, não apresentando um padrão definido, nem regulardade em sua distribuição.

Apesar de existir um grande percentual de vesículas e amigdalas, o que eleva a sua porosidade, devido ao fato de não estarem interligadas, a permeabilidade não é incomparável como a mesma propórgao. Mesmo assim, a zona amigdaloide tende a ser devida ao intenso fraturamento e o contato irregular com o derame

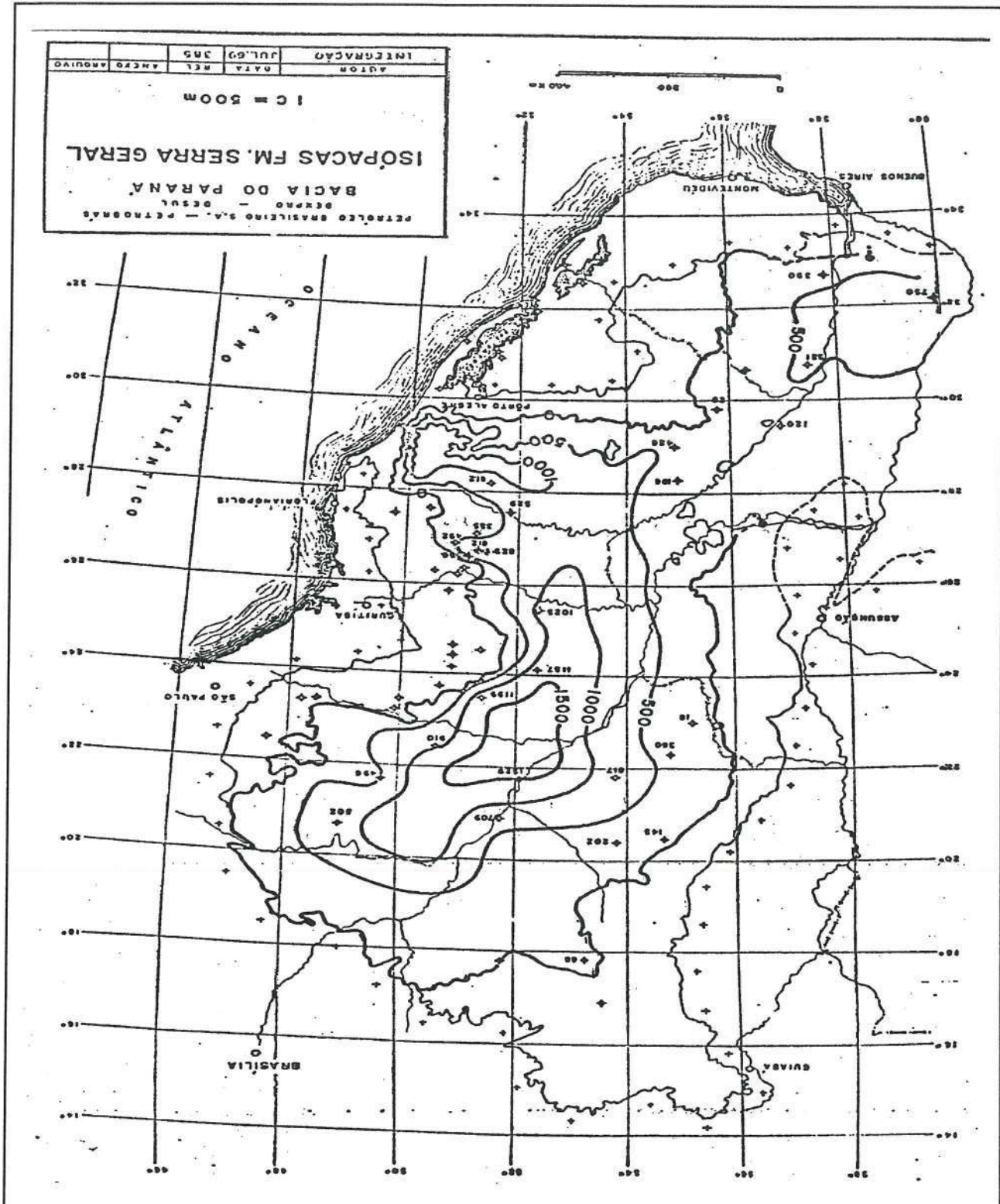
Os gases e o vapor de água dissolvidos na lava ficam retidos e se aglutinam sob a forma de bolhas e vão originar espécies vazios na rocha, constituindo a cavidade superior do derame. Estes espaços vazios da rocha são denominados de vesículas. Quando contiverem sais dissolvidos, o resfriamento provoca sua cristalização, formando minerais contínuos que dissolvem os sais dissolvidos, o que resulta em um mineral intercristalino.

10.1.2.1.2. Caracteriza>ao geol&ogica da Lona Amigdaloidé-Vesicular do derrame basaltico
Ao escalar, a lava que se encontra a temperatura de 1.100°C, sofre brusco resfriamento
em sua por>ao superior, que est&at; em contacto com a atmosfera, consolidando uma crosta,
endurecendo o restante da massa da lava continua em estadio de fusao.

Por ser o basalto uma rocha basica, sua lava apresenta grande fluidez, se espalhando por uma grande area, formando um lago de lava em fusao. Ao resfriar tende se formar uma successo de zonas com caracteristicas estruturais e texturais distintas. V. Leimz (1949) estudaando os basaltos, estableceu a successo de eventos, bem como as caracteristicas de cada uma das zonas formadas, que podem ser visualizadas na figura 10.2 e assim definidas:

Uma das melhores exposições de basalto em Santa Catarina pode ser vista ao longo da estrada da Serra do Rio do Rastro. Nesta serra, V. Lein (1949), identificou nove deramas, com espessuras variando entre 50 e 110 metros. Na subida de Timbé do Sul, H. Pützen (1955), determinou um total de treze deramas, para uma espessura de 940 metros. Os derames basálticos assentam-se discordantemente sobre os arenitos da Formação Botucatu e também podem ocorrer intercalados de arenito gelado na base dos deramas, o que indica sua contemporaneidade, apesar de nenhuma base dos deramas.

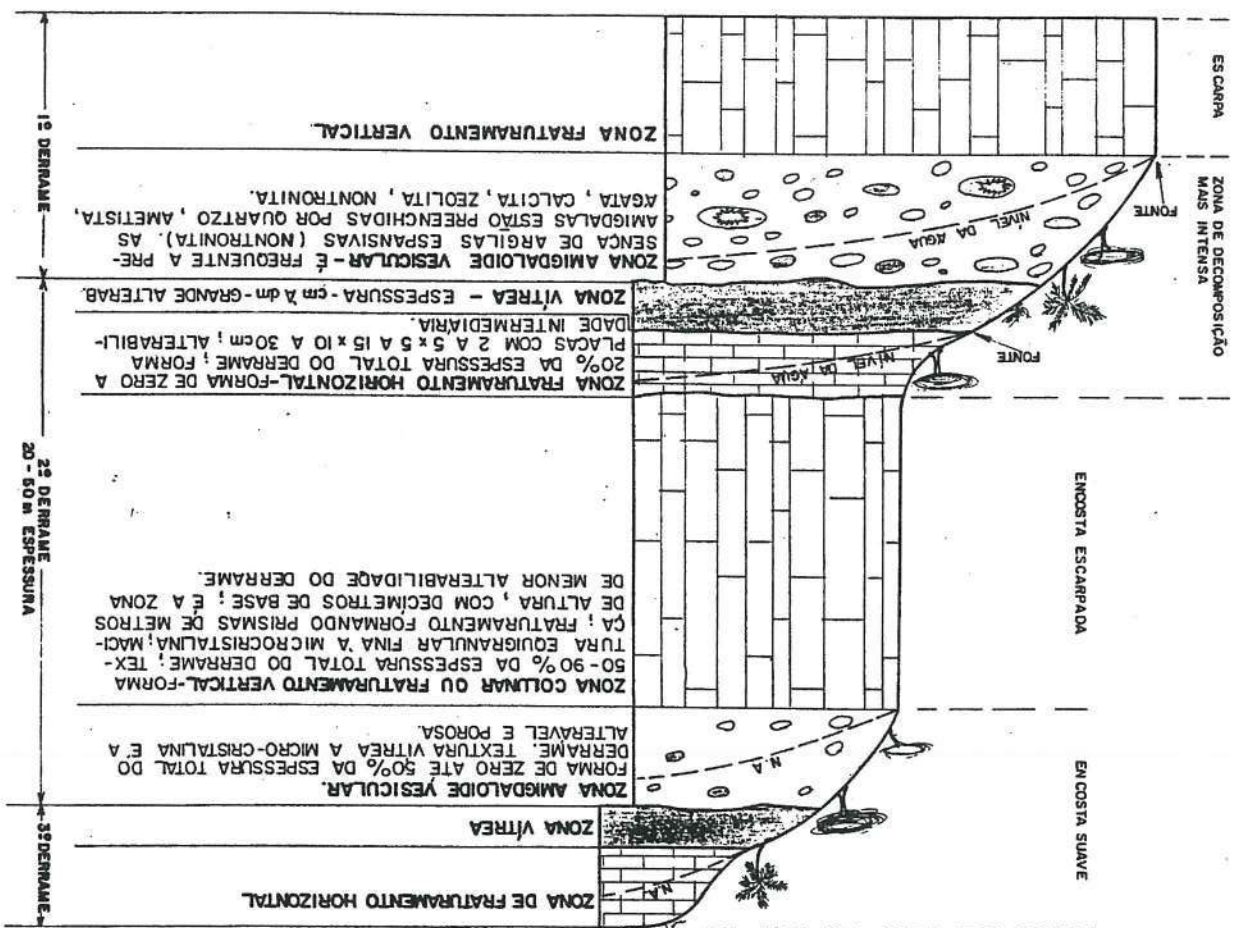
Fig. 10.1 Mapa de isótopos da Formação Serra Geral.



Assim, como a zona amigdaloidé sofre um rápido resfriamento pelo contato com o ar, a zona vitrea sofre rápido resfriamento pela dissipação do calor, pelo aquecimento do solo ou rocha por sobre o qual se escova. A quantidade de calor dissipada por esta zona será menor do que a dissipada pela zona amigdaloidé e consequentemente, terá menor espessura, da ordem de centímetros a decímetros ou ainda até poucos metros (ex. 5 centímetros ou 1 metro).

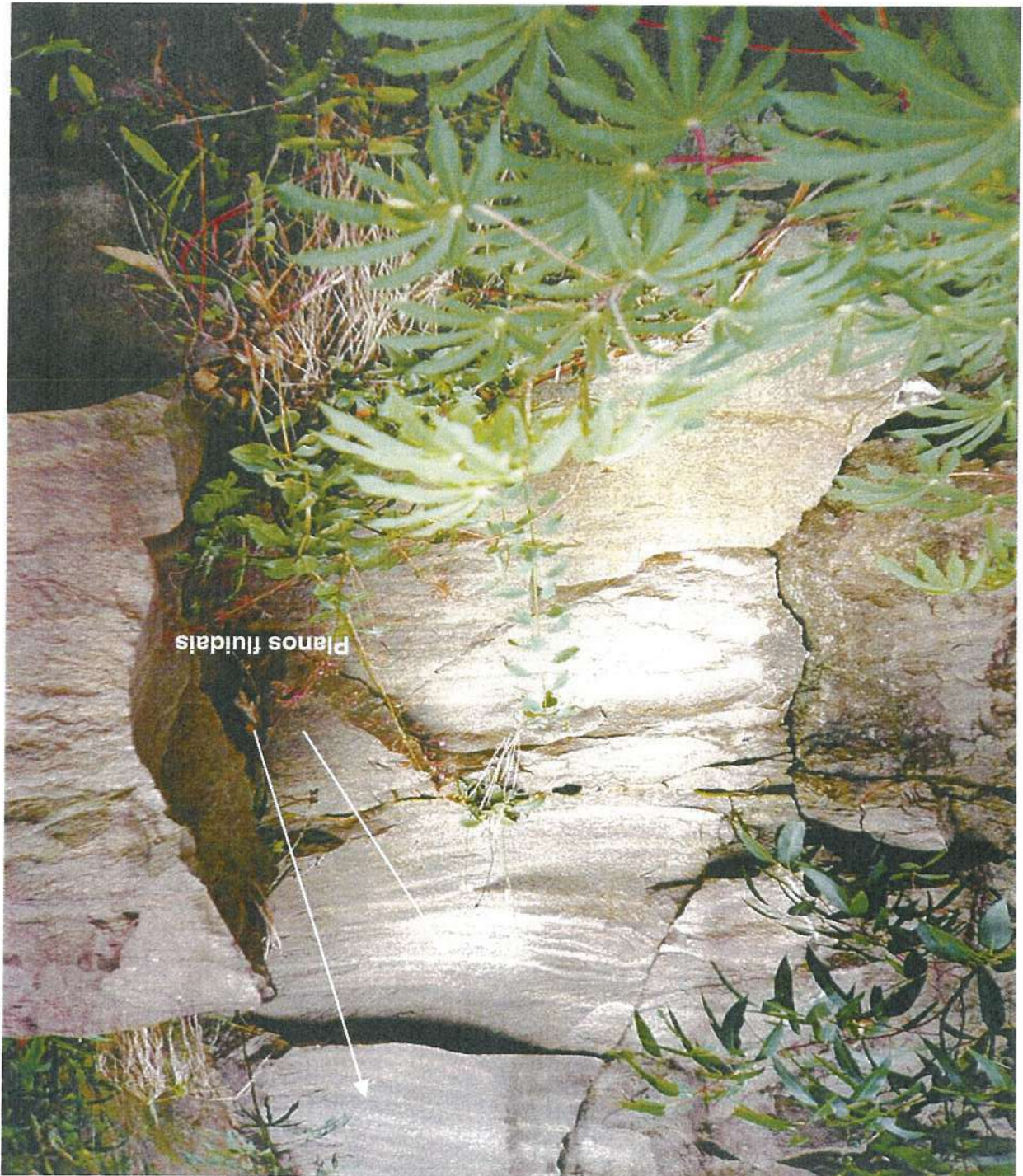
10.1.2.2 Caracterização geológica da Zona Vitréa do derame basáltico

Fig. 10.2 Perfil típico de um derrame basáltico



PERFIL TÍPICO DE UM DERRAFE BASÁLTICO

que se constituem em planos de fracturação, por onde a rocha tende a fraturar. Baldissera, limite leste da Área I. Observam-se os planos fluidais sub-horizontais da rocha, que se estende da estrada de acesso à Pedreira.



Estudo de Impacto da Implantação da Central de Tratamento de Resíduos Sólidos Industriais e Comerciais de Chapecó/SC - junho/2001 10-24

Com o objetivo de se determinar as características geotécnicas dos solos da Área I foi estabelecida uma malha de sondagem à percausão (SPT) (ver Mapa Geológico), em duas

industriais (fig. 10-4). O derame inferior tem a zona amigdaloidé entre as cotas 626 e 623 m, seguindo a zona

columnar desse derame, constituída por um basalto cinza escuro, equigranular fino, maciço

O derame superior desse derame, amigdaloidé alterada, ocorre o basalto columnar do derame superior, entre as cotas 647 e 626 m.

esta zona amigdaloidé alterada, ocorre o basalto columnar do derame superior, entre as

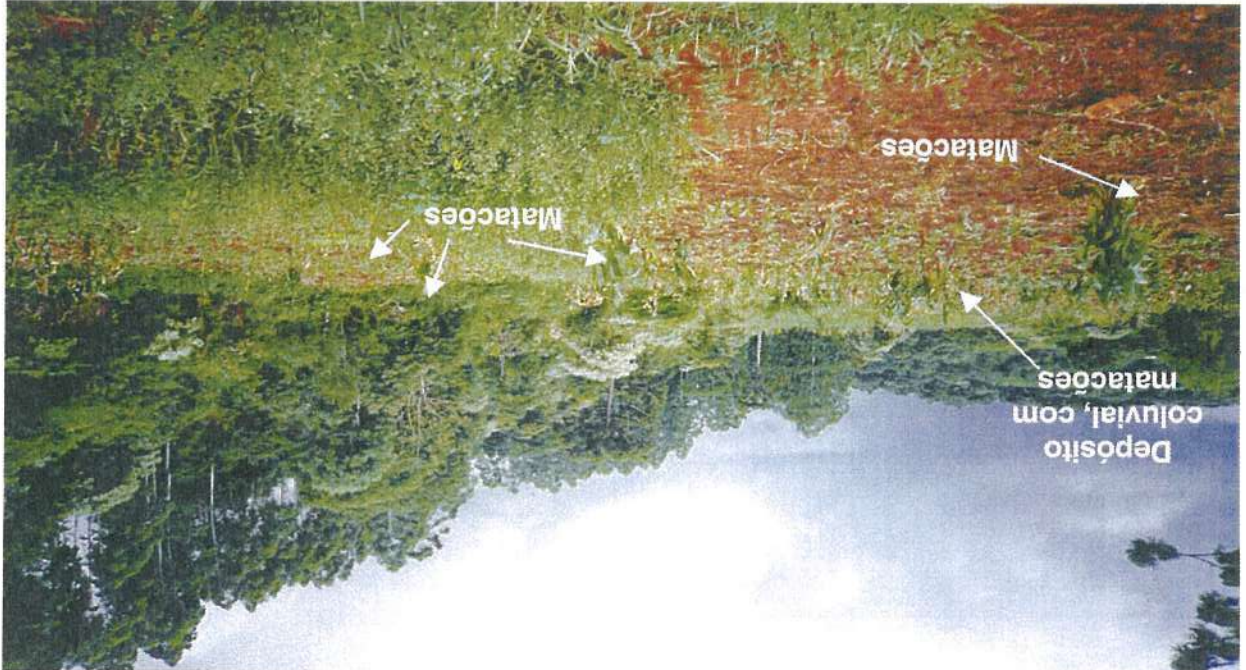
da pedreira, onde a zona amigdaloidé está posicionada entre as cotas 652 e 647 m. Sob a mostram-se bem caracterizados. O derame superior pode ser visto na bancada superior

Os dois derames basálticos denominados de derame inferior e derame superior,

suavizam a depressões correspondentes a zonas columnares, estando bem pronunciadas e a

onde as áreas escarpadas correspondentes a zonas columnares, estando bem pronunciadas e a

Fig. 10.8 Observa-se a Área I, formada por um patamar na encosta, com relevo de matacões de basalto em seu topo.



Sond.(SPT)	Prof. (m)	Nº Golpes	Descrição	Horizonte do solo
SPT-04 A	1,00 - 1,45	9	Argila vermelha, riça	
	2,00 - 2,45	11	Argila vermelha, riça	
	3,00 - 3,45	90	Cascalho	
				Nível d'água - 2,00 m

Sond.(SPT)	Prof. (m)	Nº Golpes	Descrição	Horizonte do solo
SPT-03 A	1,00 - 1,45	16	Argila marrom, muito riça	
	2,00 - 2,45	14	Argila marrom, muito riça	
	3,00 - 3,45	90	Cascalho	
				Nível d'água - 1,80 m

Sond.(SPT)	Prof. (m)	Nº Golpes	Descrição	Horizonte do solo
SPT-02 A	1,00 - 1,45	5	Argila marrom, média	
	2,00 - 2,45	6	Argila vermelha, média	
	3,00 - 3,45	6	Argila vermelha, média	
	4,00 - 4,45	6	Argila vermelha, média	
	5,00 - 5,45	9	Argila vermelha, riça	
	6,00 - 6,45	19	Argila marrom, muito riça	
	7,00 - 7,45	20	Argila marrom, muito riça	
	8,00 - 8,45			Nível d'água - 8,45 m

Sond.(SPT)	Prof. (m)	Nº Golpes	Descrição	Horizonte do solo
SPT-01A	1,00 - 1,45	5	Argila vermelha, média	
	2,00 - 2,45	5	Argila vermelha, média	
	3,00 - 3,45	7	Argila vermelha, média	
	4,00 - 4,45	7	Argila vermelha, média	
	5,00 - 5,45	9	Argila vermelha, riça	
	6,00 - 6,45	10	Argila vermelha, riça	
	7,00 - 7,45	8	Argila vermelha, riça	
	8,00 - 8,45	10	Argila vermelha, riça	
				Nível d'água - 6,4 m

Estas sondagens apresentaram o seguinte perfil:

etapas, tendo na primeira 04 (quatro) furos (SPT-01A, SPT-02A, SPT-03A, SPT-04A) e uma segundada com 07 (sete) furos, que foram executados pela Geosonda, Geologia e Sondagem Ltda.

Sond.(SPT)	Prof. (m)	Nº Golpes	Descrição	Horizonte do solo	Nível d'água - 13,0 m
SPT-02	1,00 - 1,45		Argila vermelha		
	2,00 - 2,45		Argila vermelha		
	3,00 - 3,45		Argila vermelha		
	4,00 - 4,45		Argila vermelha		
	5,00 - 5,45		Argila vermelha		
	6,00 - 6,45		Argila vermelha		
	7,00 - 7,45		Argila vermelha		
	8,00 - 8,45		Argila vermelha		
	9,00 - 9,45		Argila vermelha		
	10,00 - 10,45		Argila vermelha		
	11,00 - 11,45		Argila vermelha		
	12,00 - 12,45		Argila vermelha		
	13,00 - 13,45		Argila vermelha		
	14,00 - 14,45		Argila vermelha		
	15,00 - 15,00		Argila vermelha		

Sond.(SPT)	Prof. (m)	Nº Golpes	Descrição	Horizonte do solo	Nível d'água - 8,0 m
SPT-01	1,00 - 1,45	5	Argila vermelha, média	Colúvio	
	2,00 - 2,45	7	Argila vermelha, média	Colúvio	
	3,00 - 3,45	11	Argila vermelha, riija		
	4,00 - 4,45	11	Argila marrom, riija		
	5,00 - 5,45	10	Argila marrom, riija		
	6,00 - 6,45	9	Argila marrom, riija		
	7,00 - 7,45	11	Argila vermelha, riija		
	8,00 - 8,45	13	Argila vermelha, riija		
	9,00 - 9,45	16	Argila vermelha, muito riija		
	10,00 - 10,45	20	Argila vermelha, muito riija		
	11,00 - 11,10	45	Cascalho	Rocha alterada	

Nível d'água - 11,0 m

Sond.(SPT)	Prof. (m)	Nº Golpes	Descrição	Horizonte do solo
SPT-04	1,00 - 1,45	5	Argila vermelha, média	Coluvio
	2,00 - 2,45	5	Argila vermelha, média	Coluvio
	3,00 - 3,45	6	Argila vermelha, média	Coluvio
	4,00 - 4,45	4	Argila vermelha, mole	Coluvio
	5,00 - 5,45	5	Argila vermelha, média	Coluvio
	6,00 - 6,45	6	Argila vermelha, média	Coluvio
	7,00 - 7,45	7	Argila vermelha, média	Coluvio
	8,00 - 8,45	9	Argila vermelha, média	Coluvio
	9,00 - 9,45	10	Argila vermelha, rija	Coluvio
	10,00 - 10,45	11	Argila marrom, rija	Coluvio
	11,00 - 11,45	9	Argila vermelha, rija	Coluvio
	12,00 - 12,45	12	Argila marrom, rija	Coluvio
	13,00 - 13,45	18	Argila marrom, rija	
	14,00 - 14,30	45	Cascalho	Rocha alterada
	15,00 - 15,00	45	Cascalho	

Nível d'água - 9,5 m

Sond.(SPT)	Prof. (m)	Nº Golpes	Descrição	Horizonte do solo
SPT-03	1,00 - 1,45	9	Argila vermelha, rija	Coluvio
	2,00 - 2,45	9	Argila vermelha, rija	Coluvio
	3,00 - 3,45	8	Argila vermelha, média	Coluvio
	4,00 - 4,45	9	Argila vermelha, rija	
	5,00 - 5,45	10	Argila vermelha, rija	
	6,00 - 6,45	14	Argila vermelha, rija	
	7,00 - 7,45	12	Argila vermelha, rija	
	8,00 - 8,45	13	Argila vermelha, rija	
	9,00 - 9,45	9	Argila vermelha, rija	
	10,00 - 10,45	8	Argila vermelha, média	
	11,00 - 11,45	9	Argila vermelha, rija	
	12,00 - 12,45	10	Argila vermelha, rija	
	13,00 - 13,45	13	Argila vermelha, rija	
	14,00 - 14,30	45	Cascalho	

Sond.(SPT)	Prof. (m)	Nº Golpes	Descrição	Horizonte do solo	Nível d'água - 10,0 m
SPT-06	1,00 - 1,45	11	Argila vermelha, rija	Colúvio	
	2,00 - 2,45	9	Argila vermelha, rija	Colúvio	
	3,00 - 3,45	8	Argila vermelha, média	Colúvio	
	4,00 - 4,45	8	Argila vermelha, média	Colúvio	
	5,00 - 5,45	9	Argila vermelha, média	Colúvio	
	6,00 - 6,45	7	Argila vermelha, rija	Colúvio	
	7,00 - 7,45	8	Argila marrom, média	Colúvio	
	8,00 - 8,45	7	Argila marrom, média	Colúvio	
	9,00 - 9,45	5	Argila marrom, média	Colúvio	
	10,00 - 10,45	6	Argila marrom, média	Colúvio	
	11,00 - 11,45	6	Argila marrom, média	Colúvio	
	12,00 - 12,45	7	Argila marrom, média	Colúvio	
	13,00 - 13,45	8	Argila marrom, média	Colúvio	
	14,00 - 14,30	9	Argila marrom, rija	Colúvio	
	15,00 - 15,00	12	Argila marrom, rija	Colúvio	
	16,00 - 16,00	15	Argila vermelha, rija	Colúvio	
	17,00 - 17,30	45	Cascalho	Rocha alterada	

Sond.(SPT)	Prof. (m)	Nº Golpes	Descrição	Horizonte do solo	Nível d'água - 8,0 m
SPT-05	1,00 - 1,45	Argila vermelha	Colúvio		
	2,00 - 2,45	Argila vermelha	Colúvio		
	3,00 - 3,45	Argila vermelha	Colúvio		
	4,00 - 4,45	Argila vermelha	Colúvio		
	5,00 - 5,45	Argila vermelha	Colúvio		
	6,00 - 6,45	Argila vermelha	Colúvio		
	7,00 - 7,45	Argila vermelha	Colúvio		
	8,00 - 8,45	Argila vermelha	Colúvio		
	9,00 - 9,45	Argila vermelha	Colúvio		
	10,00 - 10,45	Argila vermelha	Colúvio		
	11,00 - 11,45	Argila vermelha	Colúvio		
	12,00 - 12,45	Argila vermelha	Colúvio		
	13,00 - 13,45	Argila vermelha	Colúvio		
	14,00 - 14,45	Argila vermelha	Colúvio		
	15,00 - 15,00	Argila vermelha	Colúvio		

Com os dados obtidos nas sondagens determinou-se as espessuras do solo, cota do topo rochoso e cota do nível d'água, da Área I, mostros na tabela 10.6. Com os elementos contidos na tabela 10.6 é elaborou-se o mapa de isópoas da espessura do solo (fig. 10.9).

- Segão 08 - D - D - SPT-03A, SPT-03, SPT-06.
- Segão 07 - C - C - SPT-07, SPT-06, SPT-05;
- Segão 06 - B - B - SPT-04, SPT-03, SPT-02;
- Segão 05 - A - A - SPT-01, SPT-03A, SPT-02A;

e uma de S para N, ou seja:

Assim, foram realizadas segões, que se encontram em anexo 05, no sentido de W para E quanto transversal, a fim de se melhor visualizar seu condicionamento.

Ao longo da Área I efetuou-se segões geológico/geotécnicas, tanto no sentido longitudinal,

industrial

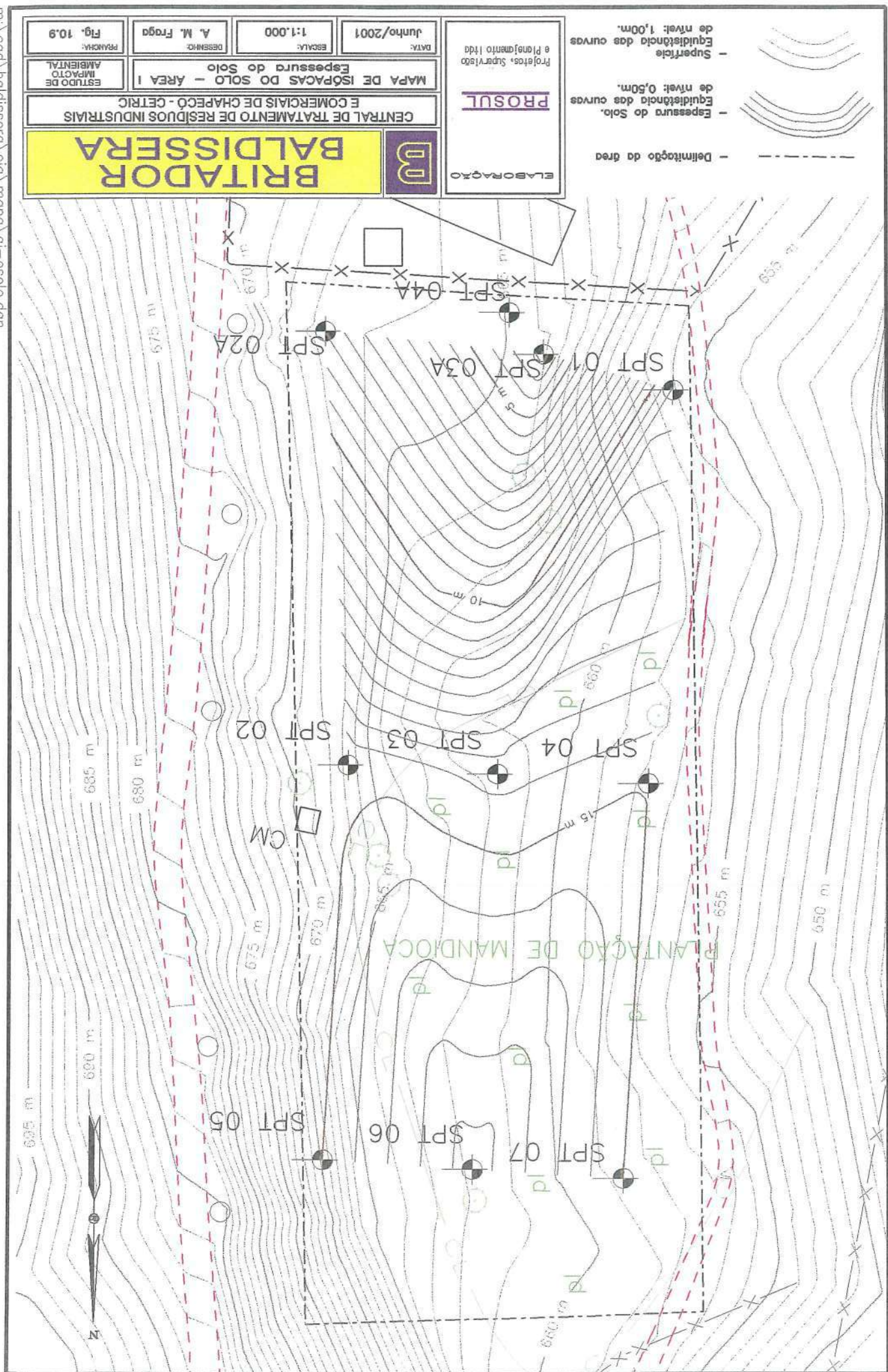
10.1.2.13.5 Características geotécnicas da Área I e a zona de influência direta do aterro

Nível d'água - 12,0 m

Sond. (SPT)	Prof. (m)	Nº Golpes	Descrição	Horizonte do solo
SPT-07	1,00 - 1,45		Argila vermelha	Colutivo
	2,00 - 2,45		Argila vermelha	Colutivo
	3,00 - 3,45		Argila vermelha	Colutivo
	4,00 - 4,45		Argila vermelha	
	5,00 - 5,45		Argila vermelha	
	6,00 - 6,45		Argila vermelha	
	7,00 - 7,45		Argila vermelha	
	8,00 - 8,45		Argila vermelha	
	9,00 - 9,45		Argila vermelha	
	10,00 - 10,45		Argila vermelha	
	11,00 - 11,45		Argila vermelha	
	12,00 - 12,45		Argila vermelha	
	13,00 - 13,45		Argila vermelha	
	14,00 - 14,45		Argila vermelha	
	15,00 - 15,00		Argila vermelha	

Sondagem	Cota da Sondagem	Espessura do solo	Cota do topo Rochaoso	Nível d'água	Cota do nível d'água
SPT-02A	666,8	>8,45	<658,35	8,45	658,35
SPT-03A	664	3,3	660,7	1,8	662,2
SPT-01	656,1	11,1	645	8	648,1
SPT-02	666,6	>15,0	<651,6	13	653,6
SPT-03	661,7	14,3	647,4	9,5	652,2
SPT-04	657,7	15	642,7	11	646,7
SPT-05	669,9	>15,0	<654,9	8	661,9
SPT-06	661,8	17,3	644,5	10	651,8
SPT-07	658,7	>15,0	<643,7	12	646,7

Tab. 10.6 Determinação da cota do topo rochoso e do nível freático, da Área I.



Este mapa mostra que a espessura do solo na Área I é grande variando de 11,1 m na sondagem SPT-01 a 17,3 m, na sondagem SPT-06. Destacou-se que a sondagem SPT-03A determinou a presença de rocha, a apenas 3,3 m, mas que pode ser interpretado como sendo devido a presença de um matacão ou bloco.

Outra observação que pode ser feita é que a análise do mapa de isolâncias da espessura de solo, caracteriza uma tendência de aumento da espessura do solo no sentido norte da área, fato que forma esta porção da área mais adequada a implantação da área industrial, quando analisado somente o aspecto da espessura do solo.

Com os dados de profundidade da rocha elaborou-se o Mapa do Topo Rochoso (fig. 10.10), que mostra a disposição da superfície da rocha, abaixo da camada de solo, na Área I.

As sondagens efetuadas na área colearam informações importantes na identificação do comporamento hidrogeológico da área, através da determinação da posição do nível d'água.

As sondagens efetuadas na área colearam informações importantes na identificação da posição do nível d'água nas sondagens e sua distribuição, possibilidade a determinação

A posição do nível d'água nas sondagens e sua distribuição, possibilidade a determinação profunda da rede freática no sentido norte, sondagem SPT-07.

Este desnível do lençol freático caracteriza um determinado gradiente hidráulico e definindo o sentido das linhas de fluxo da água subterrânea no sentido sul para norte se deve a menor profundidade da rocha no lado sul (sondagem SPT-3A).

10.1.1. O fluxo da água subterrânea no sentido sul para norte visualizado na figura o sentido das linhas de fluxo da água subterrânea, como pode ser visualizado na figura 10.11. Analisando este mapa, constata-se que o lençol freático está a menor profundidade no lado sul da Área I, sondagens SPT-03A, SPT-02A, aumentando esta profundidade ao longo freático devido ao lençol freático que é maior que o lençol hidrogeológico.

As linhas de fluxo da água subterrânea no sentido sul para norte se deve a menor profundidade da rocha no lado sul (sondagem SPT-3A).

Portanto, sob o ponto de vista unicamente hidrogeológico, a porção norte da Área I forra da Área I, em seu lado norte. Esta nascente está situada na cota 645m.

As linhas de fluxo da Área I tendem a convergir para o ponto, onde há surgença de águas, profunda de maior do lençol freático.

Locais que a Área II - alternativa para o aterro industrial

A Área II está situada em uma área de cultivo, proximo a um galinheiro e uma linha elétrica, entre as cotas 695 e 716 m. Esta avenida cerca de 130 m da Área I e a leste destas.

cores avermelhadas e espessura da ordem de 3 m. Sobre estes horizontes constata-se um depósito coluvial avermelhado, com espessura entre 1 e 1,5 m. Segue a zona colunar do derrame superior, que vem sendo explorada para a produção de brita, compreendida entre 647 e 626 m, portanto uma espessura de 21 m. O derrame inferior está contido na bancada inferior da pedreira, tendo na parte superior a zona amigdaloidé, com cor marrom avermelhada, espessura média de 3 m, compreendido entre as cotas 626 e 623 bancada inferior da pedreira, tendo na parte superior a zona amigdaloidé, com cor marrom avermelhada, espessura média de 3 m, compreendido entre as cotas 626 e 623

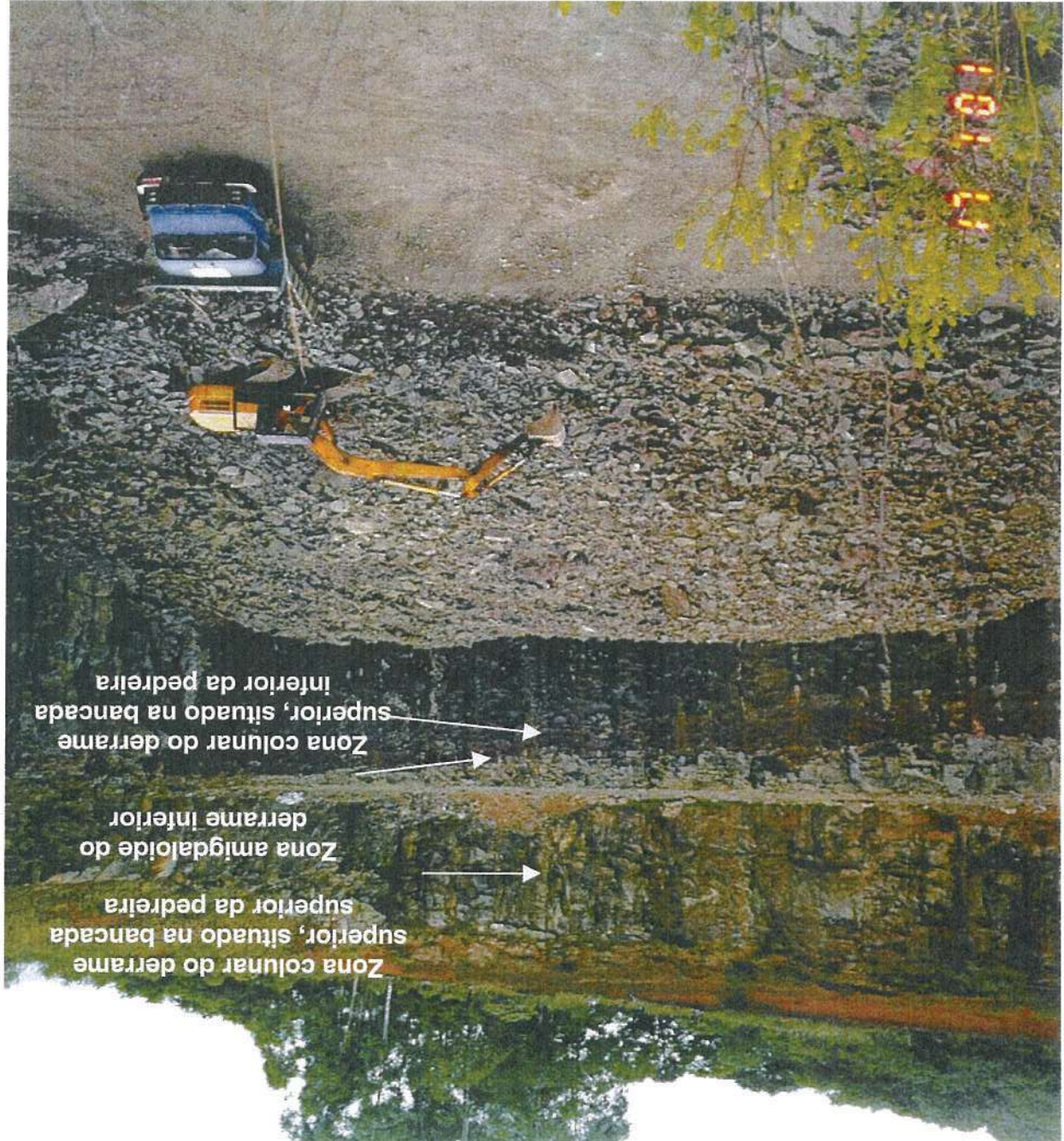


Fig. 10.4 - Pedreira Baldeirera onde se observam dois derrames basálticos. No derrame superior a zona amigdaloidé se encontra alterada, representada pelo horizonte C e B, com

o que comprova ser esta zona, a de maior permeabilidade no derame basáltico. Superior e o inferior, vendo-se a água percolar pela zona amigdaloidé do derame inferior, Fig. 10.6 Na Pedreira Baldissera, pode-se observar o contato entre dois derames, o

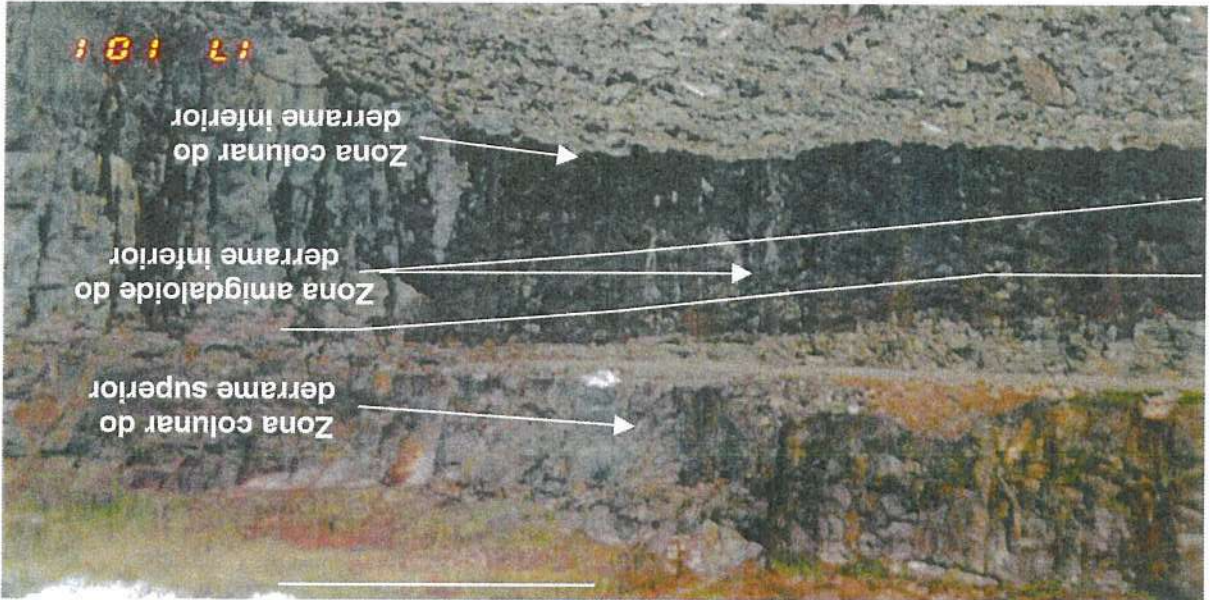
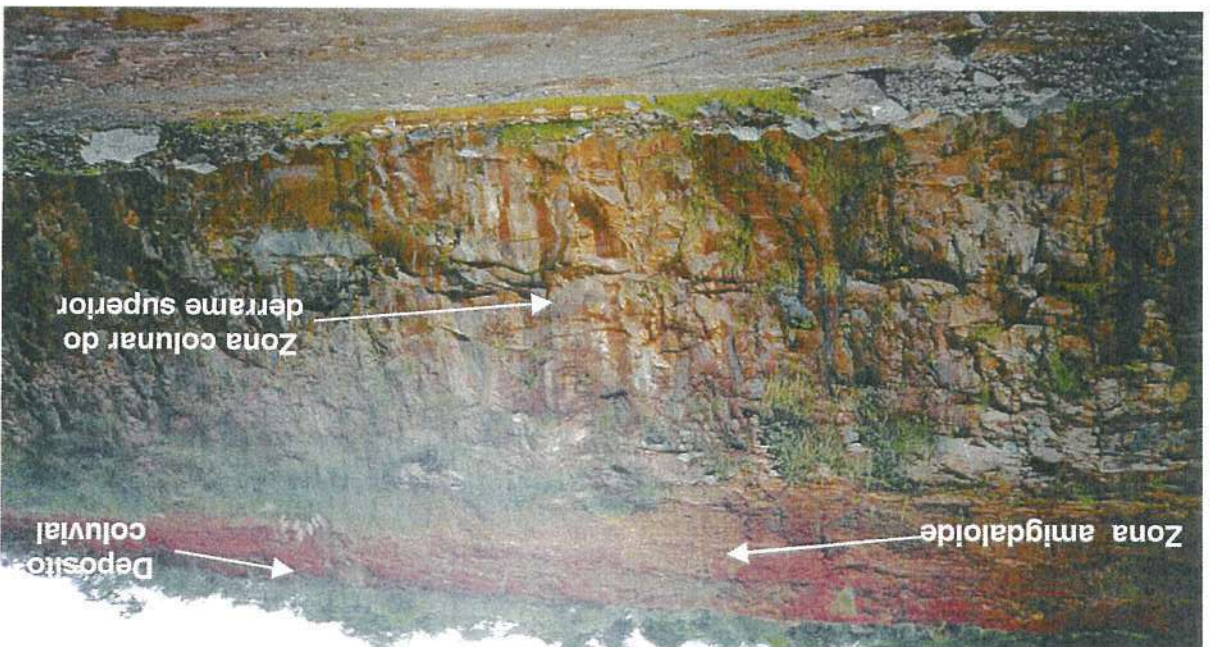
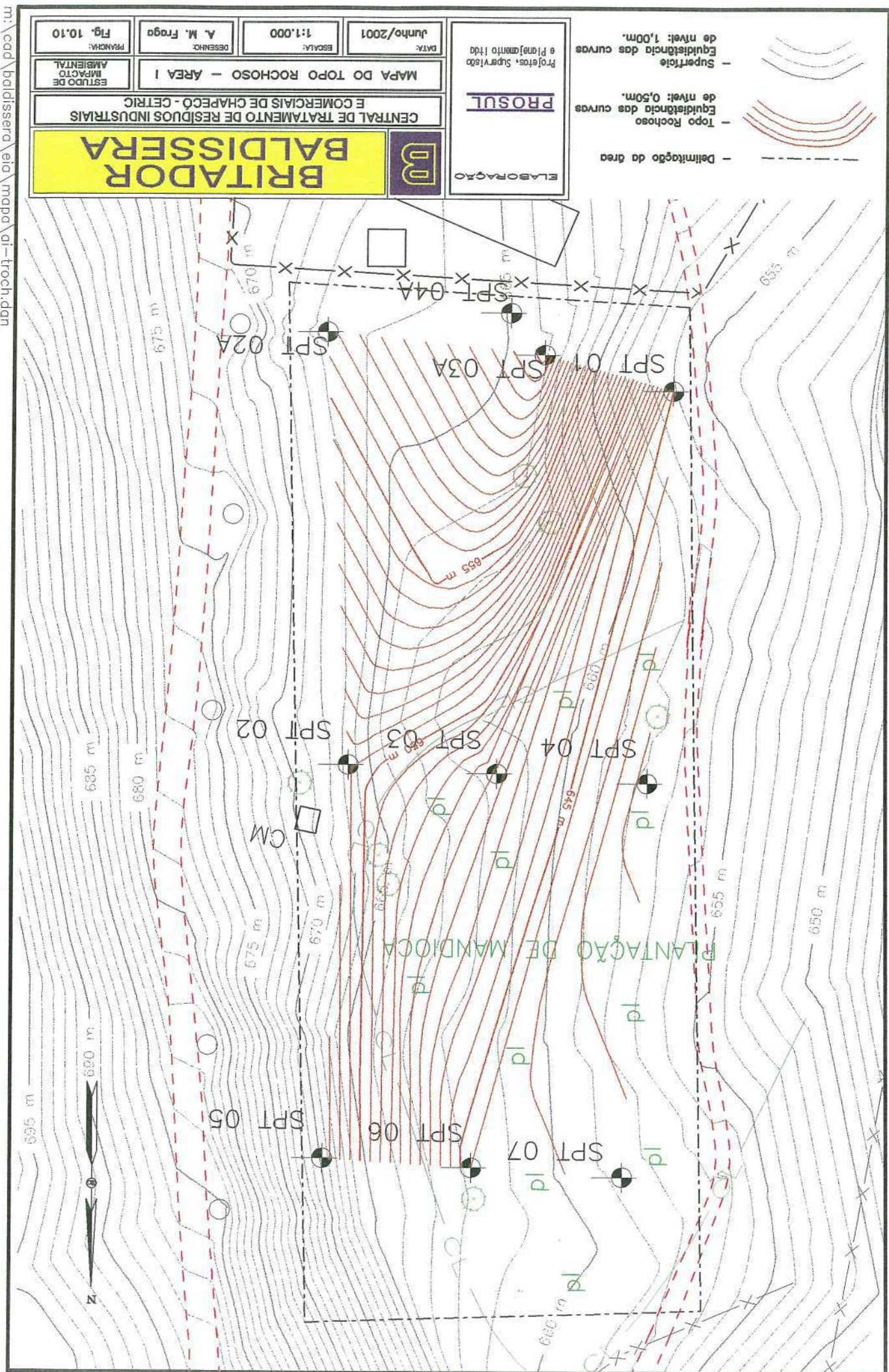
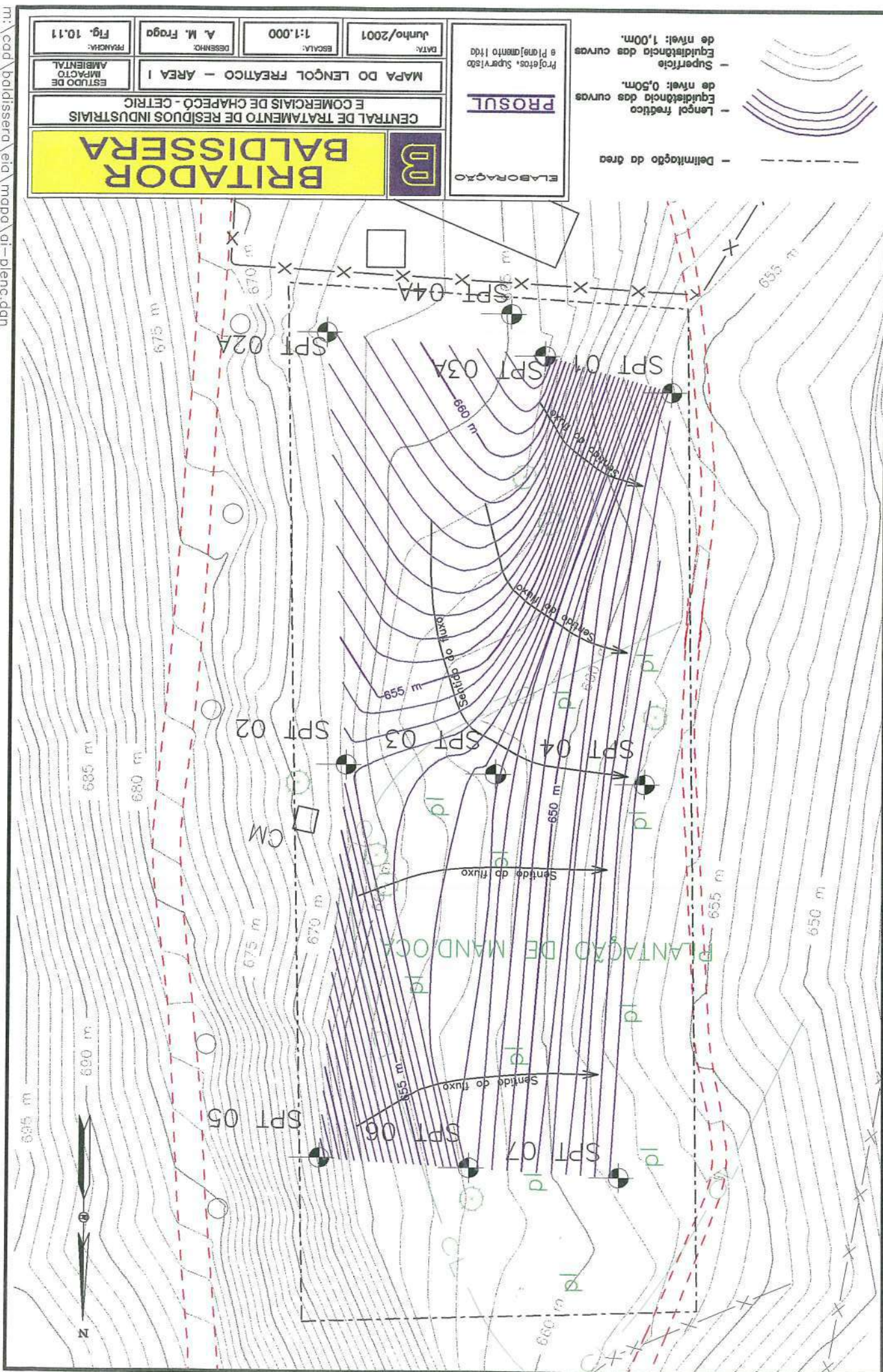


Fig. 10.5 Derame basáltico superior observado na Pedreira Baldissera, onde a zona amigdaloidé é totalmente alterada à solo, com coloração equigranular fino, cinza escuro, maciço, columnar do derame superior, formada por basalto equigranular fino, cinza escuro, maciço, com fracturamento espaldado de 10 a 80 cm.



m. Segue a zona colunar do derame inferior, até a cota da praga da pedreira.





10.1.2.13.8 Geomorfologia da Área II de influência direta do aterro industrial

A geomorfologia da Área II é característica de uma área de ocorrência de derames ácidos, correspondente aos riachos. O fraturamento predominantemente horizontalizado da rocha, devido ao seu plano fluido, favorece ao desenvolvimento de um relevo ondulado, podendo ocorrer, localmente escarpas, onde podem se formar queadas d'água.

Área II apresenta um relevo ondulado suave, desenvolvido na porção mais elevada, sem uma drenagem tipicamente encalhada.

10.1.2.13.9 Investigação geotécnica da Área II e a zona de influência direta do aterro industrial

Com o objetivo de se determinar as características geotécnicas dos solos da Área II foi estabelecida uma malha de sondagem a percussão (SPT), com 09 (nove) furos, que formam executados pela Geosonda, Geologia e Sondagem Ltda.

Estas sondagens apresentaram o seguinte perfil:

Hig. 10-12 Na Área II ocorre o rodaço de Portão, com relevo ondulado suave, com solo argiloso silítico avermelhado.



Na Área II não se constatou a existência de afioramento de rocha. Os afioramentos mais próximos estão localizados no talude da estrada que dá acesso à Pedreira Baldissera, onde se constatou a presença do riocacto porfiro até as cotas 685 m (fig. 10.12). O relevo ondulado suave (fig. 10.12), o solo argiloso siloso avermelhado, sem matogrossos em seu meio, a proximidade e cota do afioramento do riocacto porfiro, nos levam a presunção que o substrato rochoso da Área II deve ser formado pelo riocacto porfiro.

10-12-13-7 Geología da Área II e a zona de influencia direta da autreira incluísta

Nível d'água - 5,0 m

Sond.(SPT)	Prof. (m)	Nº Golpes	Descrição	Horizonte do solo
SPT-03	1,00 - 1,45	9	Argila vermelha, riija	Colúvio
	2,00 - 2,45	8	Argila vermelha, média	Colúvio
	3,00 - 3,45	5	Argila vermelha, média	Colúvio
	4,00 - 4,45	5	Argila marrom, média	Colúvio
	5,00 - 5,45	4	Argila marrom, molé	
	6,00 - 6,45	4	Argila marrom, molé	
	7,00 - 7,45	5	Argila marrom, média	
	8,00 - 8,45	52	Argila cinza, dura	
	9,00 - 9,20	45	Cascalho	

Nível d'água - 6,5 m

Sond.(SPT)	Prof. (m)	Nº Golpes	Descrição	Horizonte do solo
SPT-02	1,00 - 1,45	5	Argila vermelha, média	Colúvio
	2,00 - 2,45	5	Argila vermelha, molé	Colúvio
	3,00 - 3,45	3	Argila vermelha, média	Colúvio
	4,00 - 4,45	11	Argila vermelha, riija	
	5,00 - 5,45	13	Argila cinza, riija	
	6,00 - 6,45	11	Argila cinza, riija	
	7,00 - 7,45	10	Argila cinza, riija	
	8,00 - 8,45	13	Argila cinza, riija	
	9,00 - 9,45	33	Argila cinza, dura	
	9,45 - 9,60	45/15	Cascalho	

Nível d'água - 7,0 m

Sond.(SPT)	Prof. (m)	Nº Golpes	Descrição	Horizonte do solo
SPT-01	1,00 - 1,45	3	Argila vermelha, molé	Colúvio
	2,00 - 2,45	3	Argila vermelha, molé	Colúvio
	3,00 - 3,45	4	Argila cinza, molé	Colúvio
	4,00 - 4,45	5	Argila cinza, média	
	5,00 - 5,45	7	Argila cinza, média	
	6,00 - 6,45	17	Argila cinza, muito riija	
	7,00 - 7,45	14	Argila cinza, riija	
	8,00 - 8,45	20	Argila cinza, muito riija	
	9,00 - 9,30	45	Cascalho	

Nível d'água - 12,0 m

Sond.(SPT)	Prof. (m)	Nº Golpes	Descrição	Horizonte do solo
SPT-07	1,00 - 1,45	5	Argila vermelha, média	Colúvio
	2,00 - 2,45	5	Argila vermelha, média	Colúvio
	3,00 - 3,45	5	Argila vermelha, média	Colúvio
	4,00 - 4,45	7	Argila vermelha, média	
	5,00 - 5,45	12	Argila vermelha, rija	
	6,00 - 6,45	11	Argila vermelha, rija	
	7,00 - 7,45	11	Argila vermelha, rija	
	8,00 - 8,45	10	Argila marrom, rija	
	9,00 - 9,45	9	Argila marrom, média	
	10,00 - 10,45	8	Argila marrom, média	
	11,00 - 11,45	8	Argila marrom, média	
	12,00 - 12,45	14	Argila marrom, rija	
	13,00 - 13,45	80	Argila marrom, dura	
	13,45 - 13,50	45	Cascalho	

Nível d'água - 3,0 m

Sond.(SPT)	Prof. (m)	Nº Golpes	Descrição	Horizonte do solo
SPT-06	1,00 - 1,45	Argila vermelha	Colúvio	
	2,00 - 2,45	Argila vermelha	Colúvio	
	3,00 - 3,45	Argila vermelha	Colúvio	
	4,00 - 4,20	Argila vermelha		
	3,00 - 3,80	Argila vermelha		
	2,00 - 2,45	Argila vermelha	Colúvio	
	1,00 - 1,45	Argila vermelha	Colúvio	

Nível d'água - 1,8 m

Sond.(SPT)	Prof. (m)	Nº Golpes	Descrição	Horizonte do solo
SPT-05	1,00 - 1,45	Argila vermelha	Colúvio	
	2,00 - 2,45	Argila vermelha	Colúvio	
	3,00 - 3,80	Argila vermelha	Colúvio	
	3,00 - 3,45	Argila cinza, muita rija	Colúvio	
	2,00 - 2,45	Argila cinza, molde	Colúvio	
	1,00 - 1,45	Argila cinza, molde	Colúvio	

Nível d'água - 4,2 m

Sond.(SPT)	Prof. (m)	Nº Golpes	Descrição	Horizonte do solo
SPT-04	1,00 - 1,45	3	Argila cinza, molde	Colúvio
	2,00 - 2,45	5	Argila cinza, molde	Colúvio
	3,00 - 3,45	30	Argila cinza, muita rija	Colúvio
	4,00 - 4,45	29	Argila cinza, muita rija	
	5,00 - 5,10	45	Argila vermelha	

Ao longo da Área II efetuou-se segões geológico/geotécnicas, tanto no sentido longitudinal, quanto transversal, a fim de se melhor visualizar seu condicionamento. Assim,

10.1.2.13.10 Características geotécnicas da Área II e a zona de influência direta do aterro industrial

Sond.(SPT)	Prof. (m)	Nº Golpes	Descrição	Horizonte do solo	Nível d'água - 10,2 m
SPT-09	1,00 - 1,45	6	Argila vermelha, média	Colúvio	
	2,00 - 2,45	6	Argila vermelha, média	Colúvio	
	3,00 - 3,45	7	Argila vermelha, média	Colúvio	
	4,00 - 4,45	8	Argila vermelha, média	Colúvio	
	5,00 - 5,45	9	Argila vermelha, média	Colúvio	
	6,00 - 6,45	10	Argila vermelha, média	Colúvio	
	7,00 - 7,45	13	Argila vermelha, média	Colúvio	
	8,00 - 8,45	10	Argila vermelha, média	Colúvio	
	9,00 - 9,45	11	Argila vermelha, média	Colúvio	
	10,00 - 10,45	11	Argila vermelha, média	Colúvio	
	11,00 - 11,45	10	Argila vermelha, média	Colúvio	
	12,00 - 12,45	11	Argila vermelha, média	Colúvio	
	13,00 - 13,45	17	Argila vermelha, muito rija		
	14,00 - 14,45	22	Argila vermelha, muito rija		
	14,45 - 14,80	90	Cascalho		

Sond.(SPT)	Prof. (m)	Nº Golpes	Descrição	Horizonte do solo	Nível d'água - 16,40 m
SPT-08	1,00 - 1,45	7	Argila vermelha, média	Colúvio	
	2,00 - 2,45	8	Argila vermelha, média	Colúvio	
	3,00 - 3,45	8	Argila vermelha, média	Colúvio	
	4,00 - 4,45	9	Argila vermelha, rija		
	5,00 - 5,45	11	Argila vermelha, rija		
	6,00 - 6,45	13	Argila vermelha, rija		
	7,00 - 7,45	11	Argila vermelha, rija		
	8,00 - 8,45	15	Argila vermelha, rija		
	9,00 - 9,45	10	Argila marrom, rija		
	10,00 - 10,45	8	Argila marrom, média		
	11,00 - 11,45	7	Argila marrom, média		
	12,00 - 12,45	6	Argila marrom, média		
	13,00 - 13,45	5	Argila marrom, média		
	14,00 - 14,45	6	Argila marrom, média		
	15,00 - 15,45	20	Argila marrom, muito rija		
	16,00 - 16,40	90	Cascalho		

(fig. 10.14), que mostra a disposição da superfície da rocha abaixo da camada de solo. Com os dados de profundidade da rocha, elaborou-se o Mapa do Topo Rochoso da Área II (fig. 10.14). Esta informação mostra importante, pois evidencia que a porção NE da Área II é mais adequadamente implantada do que a parte SSW, quando analisado somente o aspecto da espessura de solo.

Tab. 10.7 Determinação da cota do topo rochoso e do lençol freático da Área II.

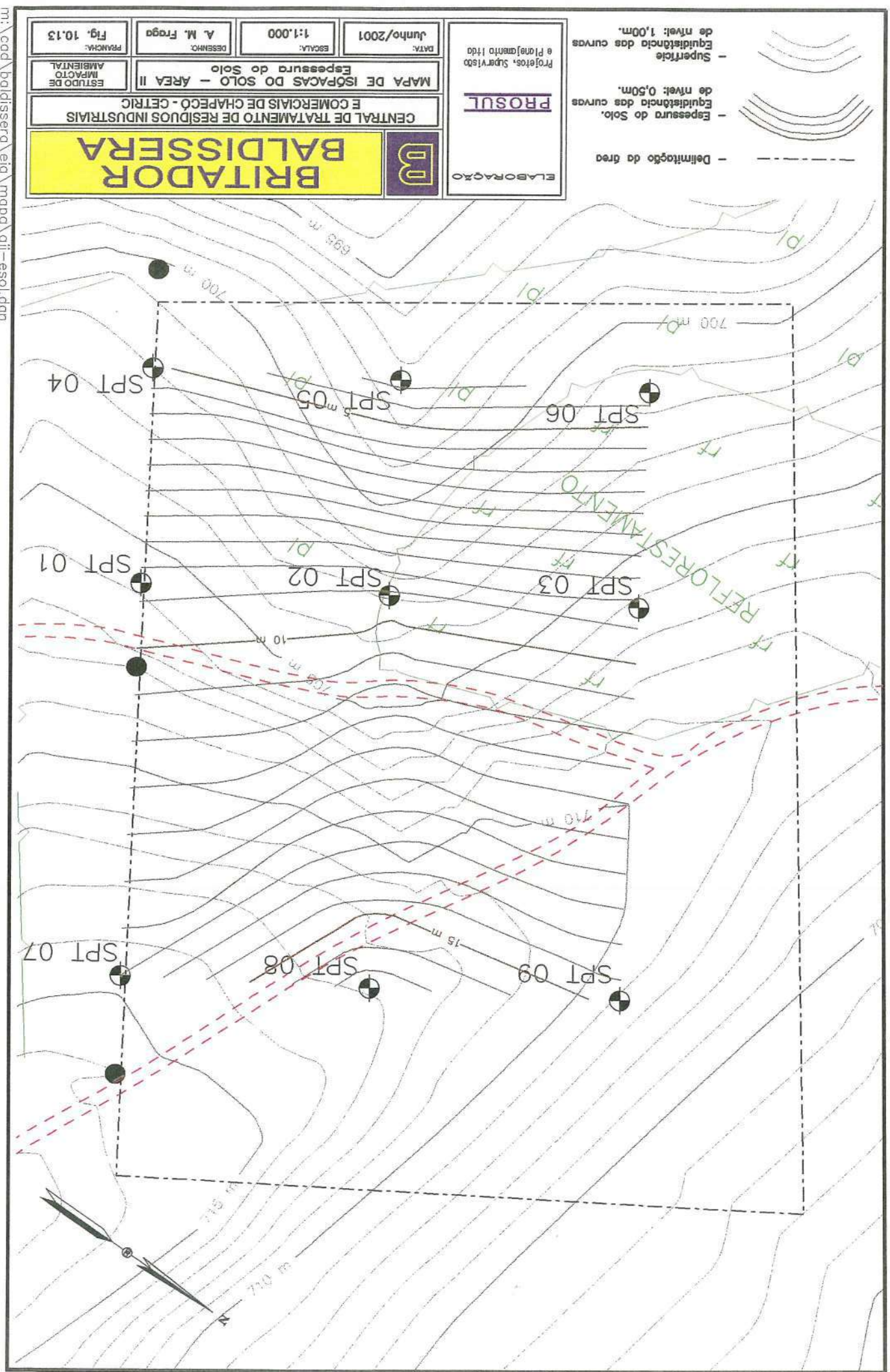
Sondagem	Cota da Sondagem	Espessura do solo	Cota do rochoso	Nível d'água	Cota do nível
SPT-09	708,9	14,8	694,1	10,2	698,7
SPT-08	713	16,4	696,6	16,4	696,6
SPT-07	714,8	13,5	701,3	12	702,8
SPT-06	701,7	4,2	697,5	3	698,7
SPT-05	697,4	3,8	693,6	1,8	695,6
SPT-04	702	5,1	696,9	4,2	697,8
SPT-03	706,2	9,2	697	5	701,2
SPT-02	703	9,6	693,4	6,5	696,5
SPT-01	705,8	9,3	696,5	7	698,8

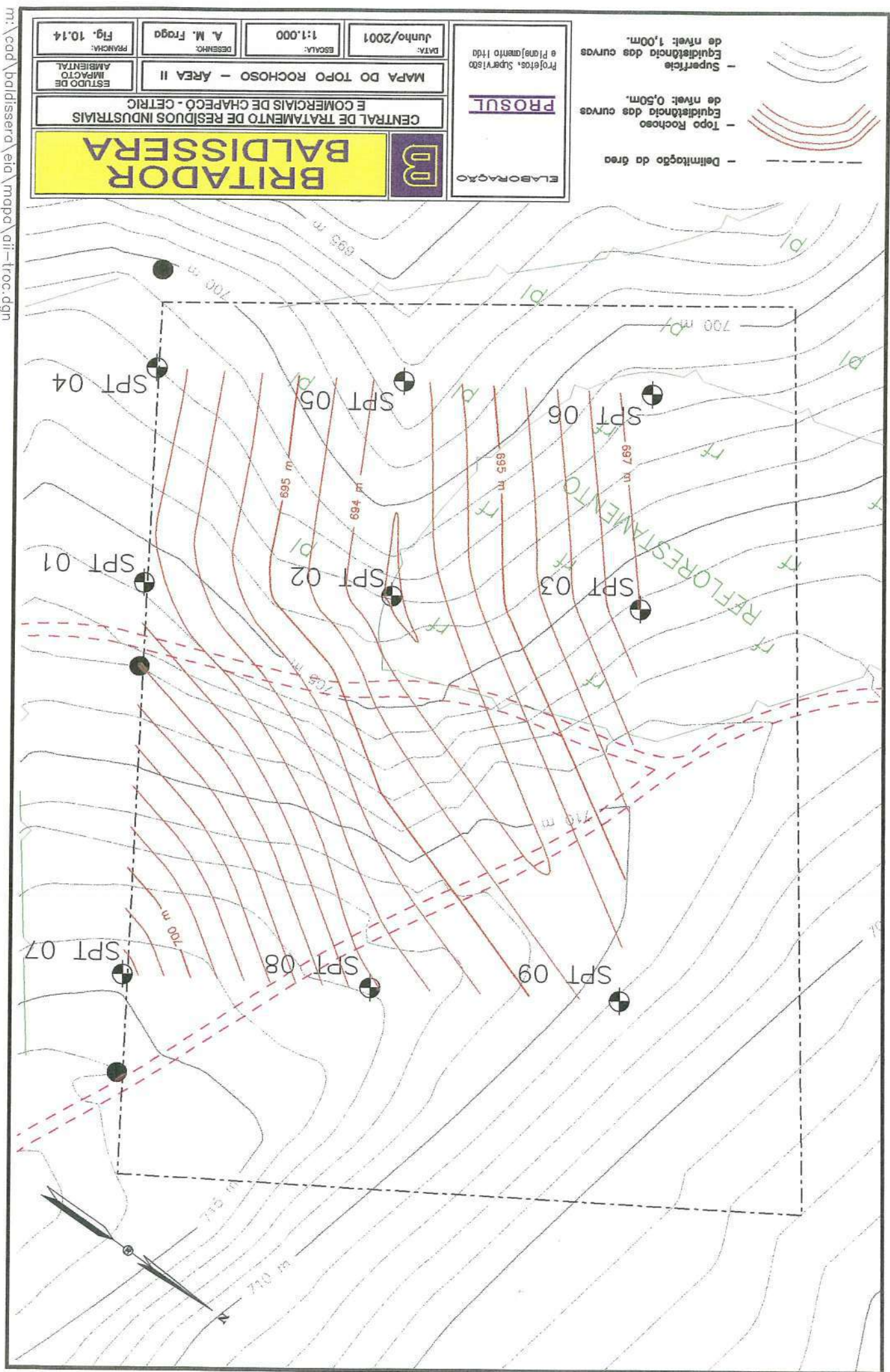
Com os dados obtidos nas sondagens determinou-se as espessuras de solo, cota do topo rochoso e cota do nível d'água, da Área II, mostdados na tabela 10.7. Com estes elementos obtidos na tabela 10.7, elaborou-se o mapa de isótopos da espessura de solo (fig. 10.13). Este mapa mostra que a menor cota, tendo um mínimo de 3,8 m na sondagem SPT-05 e um máximo de 16,4 m na SPT-08.

- Segão 04 - IV - IV - SPT-05, SPT-02, SPT-08;
- Segão 03 - III - III - SPT-09, SPT-08, SPT-07;
- Segão 02 - II - II - SPT-03, SPT-02, SPT-01;
- Segão 01 - I - I - SPT-06, SPT-05, SPT-04;

uma de SW para NE, ou seja:

foram realizadas segões, que se encontram em anexo 05, no sentido de NW para SE e





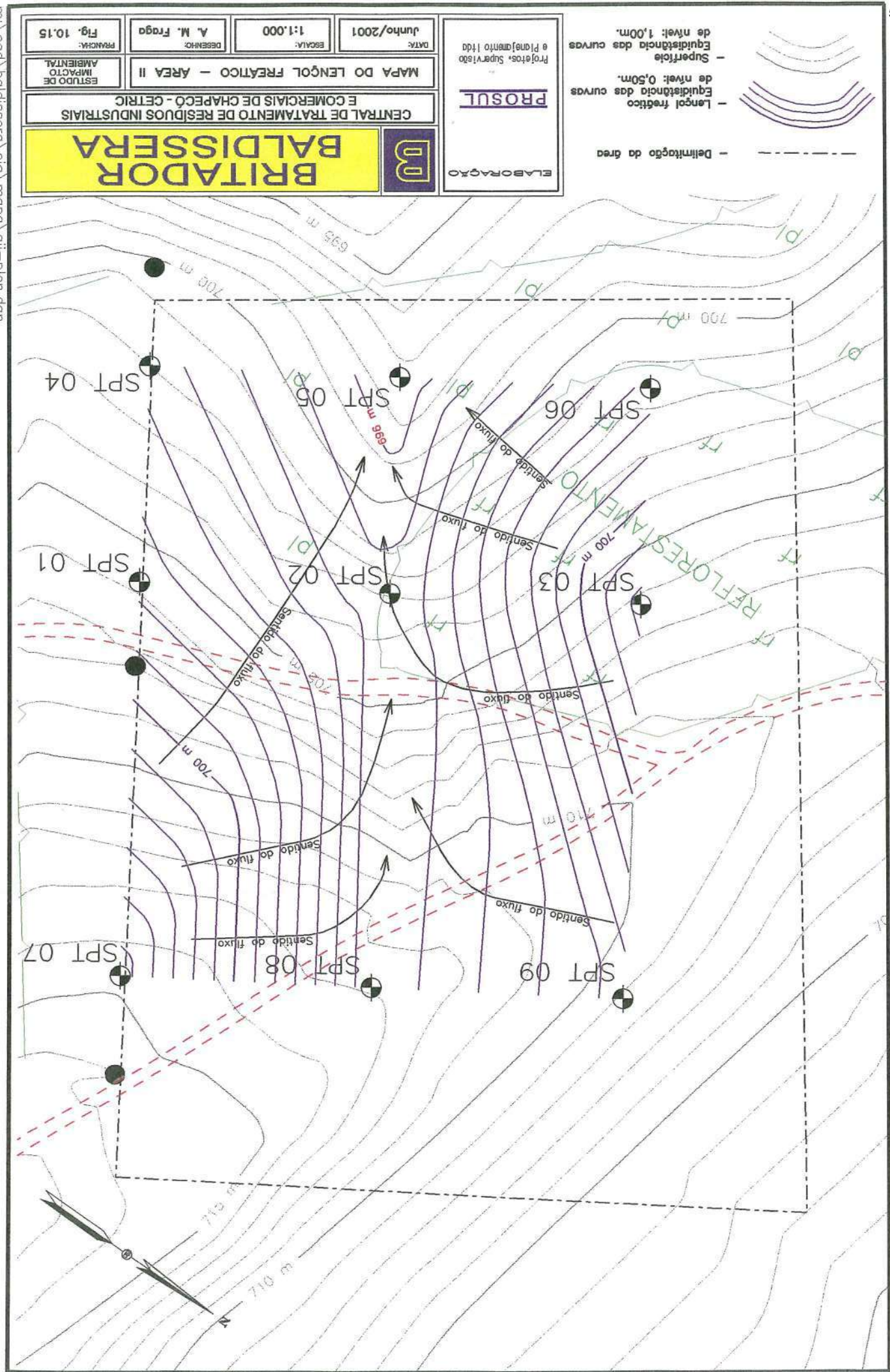
10.1.2.13.11 Condiionamento hidrogeológico da Área II e a zona de influência direta do solo

As sondagens efetuadas na área coletaram informações importantes na identificação do compotamento hidrogeológico da área, através da determinação da posição do nível de água.

A posição do nível d'água nas sondagens e sua distribuição, possibilidade de determinação hidrogeológica e a elaboração de um mapa, constata-se que a água subterrânea na área apresenta um comportamento esperado, ou seja, está em profundidade maior nas porões elevadas, que se caracterizam como um divisor, onde alcança a profundidade de 16,4 m, na sondagem SPT-08. A menor profundidade do nível d'água foi constatada na sondagem SPT-05, com 1,8m, situado num ponto baixo, que corresponde a um talvegue.

Esta disposição espacial faz com que o gradiente hidráulico determine que as linhas de fluxo vêm de uma direção ao talvegue, caracterizada pelo exó formado pelas sondagens SPT-05, SPT-02 e SPT-08, conforme mostra o mapa do nível freático da Área II (fig. 10.16). Um único ponto anômalo foi da posição do nível d'água foi identificado na sondagem SPT-09, pois esta 2,1 m acima da cota do nível d'água na sondagem SPT-08, quando seria esperado o contrário. Esta anomalia pode ser explicada por uma determinação do campo efetuado, logo após a sondagem e não com o minimo de 24 horas.

Estas informações nos levam a conclusão, que, unicamente sob o ponto de vista hidrogeológico, a porção nordeste da área mostra-se mais adequada à implantação industrial, pois mostra uma profundidade maior do nível freático.



Analisando os valores da série histórica, pode-se concluir que a região é privilegiada no que diz respeito aos totais anuais de chuva e ao regime de distribuição ao longo do ano, e também é favorável quanto a variabilidade e regularidade de seus totais anuais.

Parâmetros	jan.	fev.	mar.	abr.	mai.	jun.	jul.	ago.	set.	out.	nov.	dez.
Altura média de chuva [mm]	165.2	217.4	121.5	172.8	203.6	165.3	177	135.8	170.2	233.5	181.8	170.2
Máxima observada [mm]	313.8	499.6	261.4	413.6	482.9	345.8	684.3	269.1	329.7	446	366.7	406.5
Mínima observada [mm]	44.3	66.9	37.6	10.3	36.8	38.7	20	21.4	41.9	110.7	59.6	87
Média dos dias de chuva	13	14	10	10	10	11	9	11	13	11	11	12
Máximo dos dias de chuva	21	24	20	18	19	15	21	16	16	20	20	20
Mínimo dos dias de chuva	6	4	2	1	4	4	5	3	7	6	5	7
Máximo diário observada	102.6	96.7	74.9	106	148.9	98.9	141	106	90.2	113	66.6	107.1
Mínima diária observada	18.1	26.1	22.2	10.3	15.6	17	17.9	11.4	15.2	33.1	31.2	22.6

Tab. 10.8 - Médias, máximas e mínimas pluviométricas.

Estes valores podem ser visualizados na tabela 10.8, e nas figuras 10.16 e 10.17.

Com referência em dados obtidos juntamente a estação meteorológica da EPAGRI situada na cidade de Chápecó, citada na caracterização climática, estudo-se as precipitações de nenhuma forma a obter valores de interesse para a avaliação: alturas pluviométricas médias e valores extremos ocorridos na série histórica de 01 de janeiro de 1978 a 31 de dezembro de 1997, compreendendo 20 anos de observação.

10.1.3.1.1 Precipitações

O diagnóstico hidrológico procurou analisar os fatores intervenientes nas movimentações hídricas no meio ambiente, procurando dar maior ênfase a fatores relevantes ao ambiente, que é objeto de análise deste estudo. Portanto, procurou-se caracterizar, empregando elementos, que base nos dados pluviométricos e demais elementos meteorológicos, com variantes hidrológicas sazonais que influenciam no balanço hídrico regional.

10.1.3.1 Aspectos hidrológicos regionais

10.1.3 Hidrologia

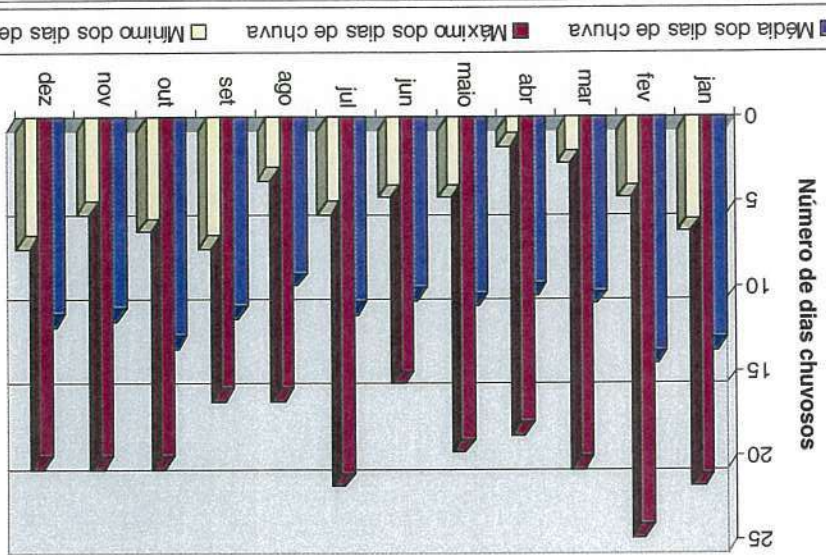


Fig. 10.17 - Histograma dos dias de chuva mensais, mínimos, máximos e médios da estação de Chapeado.

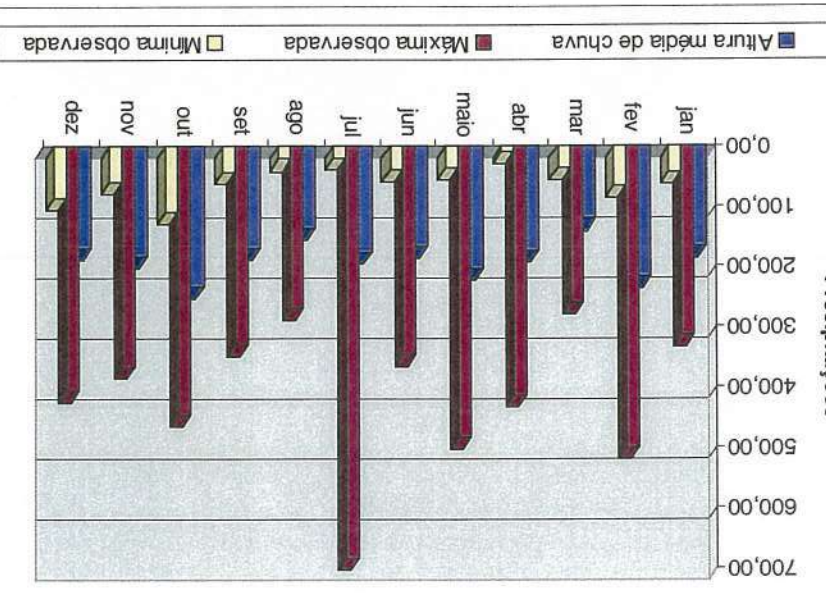


Fig. 10.16 - Regime pluviométrico da estação de Chapeado.

Como a temperatura do ar é um elemento geralmente medido em postos meteorológicos com o auxílio do nomograma elaborado por Palmer & Havens e adaptado por Camargo, A equação de Thornthwaite é bastante complexa para uso prático, mas pode ser aplicada

$$a = 0,675 \cdot 10^6 \cdot p - 0,771 \cdot 10^4 \cdot p + 1,792 \cdot 10^2 \cdot 1 + 0,49 \quad (3)$$

a: equação cubica da fórmula

$$I = Z_i \text{ para } i \leq 12 \text{ onde } i = (t/5)^{1.514} \quad (2)$$

mensal ($^{\circ}\text{C}$): um índice de calor correspondente à soma dos 12 índices mensais. onde E é a evapotranspiração potencial não ajustada (cm); t é a temperatura média

$$E = (10t/i)^a \quad (1)$$

Thornthwaite estabeleceu a seguinte equação para um mês de 30 dias.

Usou-se o método de Thornthwaite (Villegas, et. al., 1975), que permite estimar valores de perdas por evapotranspiração com base na temperatura média mensal e na duração dia.

10.1.3.1.2.2 Método de avaliação da evapotranspiração potencial de Thornthwaite

A determinação de valores de evapotranspiração é de grande importância, pois também é subsidiária para cálculo do balanço hídrico. Para determinação das perdas por evapotranspiração, usou-se métodos indiretos de determinação desse fator meteorológico.

10.1.3.1.2.1 Avaliação da evapotranspiração potencial

“Evapotranspiração potencial é a perda de água por evaporação e transpiração de uma superfície natural tal que estéja totalmente coberta e o teor de umidade estéja proximo a capacidade de campo.”

“Conjunto de evaporação do solo combinada com o fenômeno de transpiração das plantas”.

10.1.3.1.2 Evapotranspiração

O nomograma é apresentado na figura 10.18, juntamente com os valores obtidos de sua utilização para a cidade de Chapeado.

mes	jan.	fev.	mar.	abr.	mai.	jun.	jul.	ago.	set.	out.	nov.	dez.	média
temp[°C]	23,2	22,7	21,6	18,8	15,9	14,1	14,2	15,9	16,8	19,3	21,0	22,6	18,8

Tab. 10.9 - Temperaturas médias mensais e média anual.

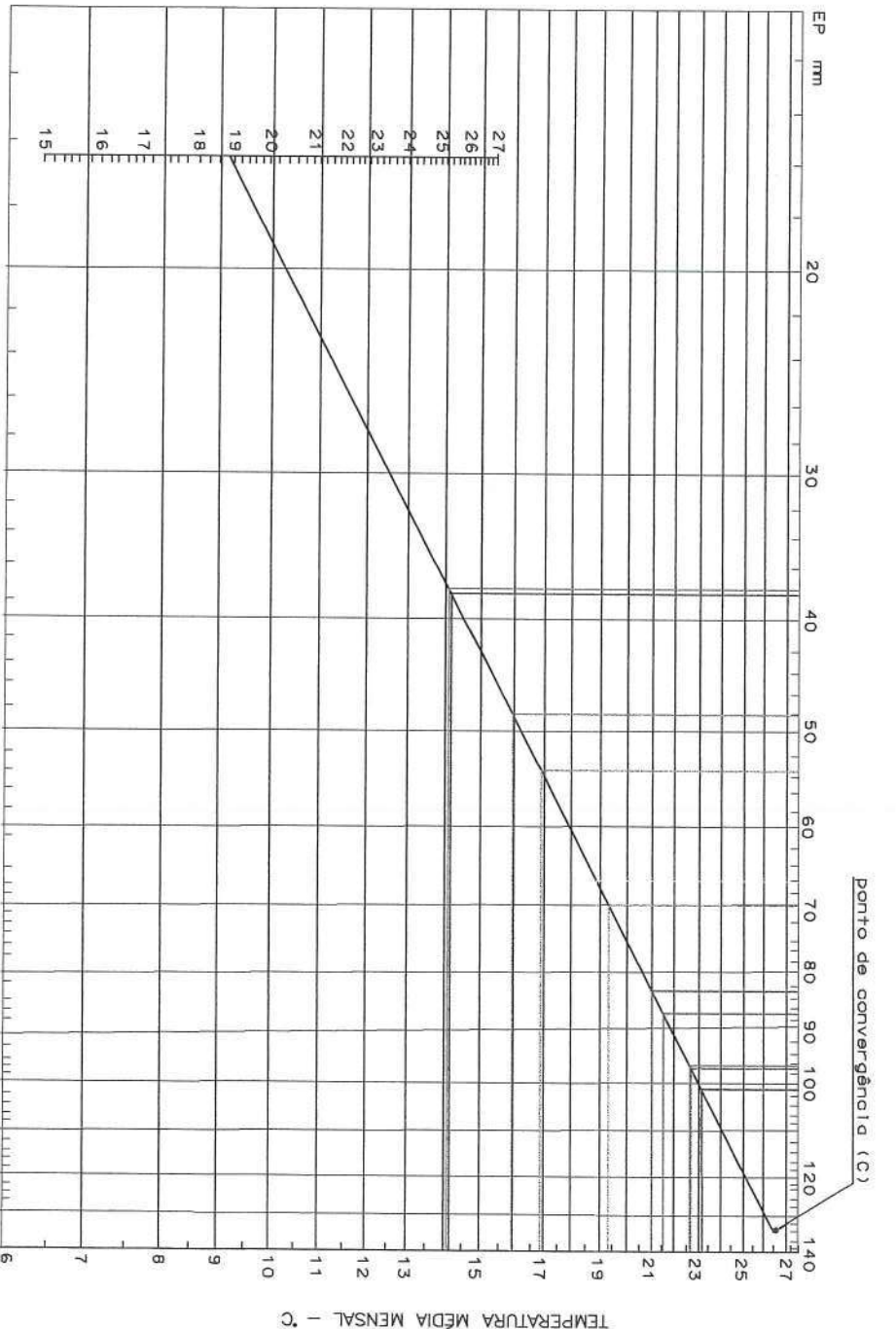
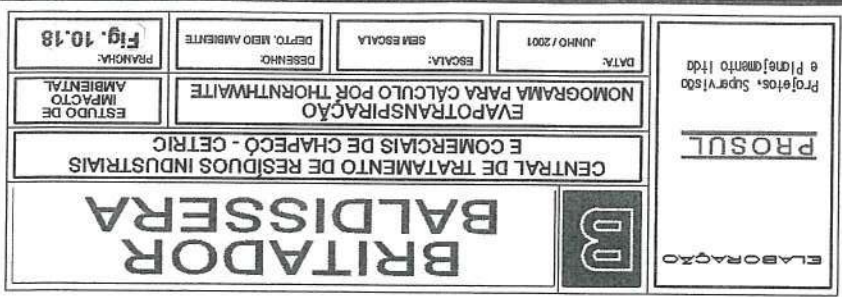
Os valores de temperatura média para os meses do ano, formam conseguindos juntamente a estágio meteorológico de Chapeado, e são apresentados na tabela 10.9.

Uso do nomograma - Toma-se o valor da temperatura média anual, e ligando ao ponto de convergência (C) determina-se a linha de base. Tomanndo-se agora os valores de temperatura média mensais, usando a escala à direita, e levando-os até a linha de base e rebatendo-os na escala superior determina-se a evapotranspiração mensal não ajustada para cada mês.

b) temperatura média mensal (°C)

a) temperatura média anual (°C)

com bastante pre cisão Camargo substitui o índice de calor pela temperatura média anual, construindo um nomograma com:



Nomograma para cálculo da evapotranspiração potencial mensal, não ajustada, pela fórmula de Thornthwaite

meses	janeiro	fevereiro	março	maio	junho	julho	agosto	setembro outubro novembro dezembro				
E (mm)	101,0	97,0	86,9	66,0	48,0	37,5	38,0	48,0	53,4	70,0	82,9	96,4

Fazendo uma análise regional de macro escala, em relação aos valores de precipitação, temperatura e evapotranspiração pode-se visualizar correlações existentes entre esses fatores num determinado período de tempo.

10.1.3.1.3 Balanço hídrico regional

mes	t	E	Fator de correção [mm]	$E_{ajustado}$ [mm]	$E_{anual \ ajustado} = 900,2$
janeiro	23,2	101,0	1,18	119,2	
fevereiro	22,7	97,0	1,02	98,9	
março	21,6	86,9	1,05	91,2	
abril	18,8	66,0	0,96	63,4	
maio	15,9	48,0	0,93	44,6	
junho	14,1	37,5	0,87	32,6	
julho	14,2	38,0	0,92	35,0	
agosto	15,9	48,0	1,00	46,6	
setembro	16,7	53,4	0,97	83,4	
outubro	19,3	70,0	1,00	77,7	
novembro	21	82,9	1,11	92,8	
dezembro	22,6	96,4	1,19	114,7	

Tab. 10.11 - Determinação da evapotranspiração potencial pelo Método de Thornthwaite

Os resultados são apresentados na tabela 10.11.

lat.	jan.	fev.	mar.	abr.	mai.	jun.	Jul.	ago.	set.	out.	nov.	dez.	27°s
	1,18	1,02	1,05	0,96	0,93	0,87	0,92	0,97	1,00	1,11	1,12	1,19	

Tab. 10.10 - Fatores de correção da evapotranspiração potencial mensal.

Como a região em questão se situa na latitude 27° os fatores de conversão da evapotranspiração potencial, para ajustá-la ao número de dias do mês e a duração do brilho solar diário, nos vários meses do ano, foram retirados da bibliografia de referência, e são apresentados na tabela 10.10.

acordo com a latitude.

Os valores obtidos deverão ser ajustados ao comprimento do dia e ao número de dias do mês. Por essa razão, deve-se multiplicar a E por um fator de correção que tabulado de acordo com a latitude.

Sendos assim, no balanço hídrico para a região de Chápeu, com base em um período de observação de 20 anos (fig. 10.19), estabelece a relação entre a água que é precipitada e as alturas de perdas por evapotranspiração potencial, considerando que não há variação superficials.

Pode-se observar que se ΔR for nulo (mesmo valor das reservas no início e no fim do período considerado) ou desprezível face a P e Q para períodos de observação de longa duração, ter-se-á:

$$E = P - Q \quad (5)$$

desta forma:

$$P + R = Q + E + R + \Delta R \quad (4)$$

Balanço hídrico:

ATIVO	PASSIVO	$P + R$	Total do PASSIVO	$Q + E + (R + \Delta R)$
Reservas provenientes de períodos precedentes e águas subterrâneas - $R - E$	Reservas acumuladas no fim do período considerado - $R + \Delta R$			
Reservas provenientes de períodos precedentes e águas subterrâneas - $R - E$	Reservas acumuladas no fim do período considerado - $R + \Delta R$			
Precipitações - P	Escócamento no período considerado - Q			

A fórmula geral do balanço hídrico (Garcez, et. al., 1974), para um determinado período de observação, pode ser esquematizada da seguinte modo:

Segundo o Diagnóstico Geral das Bacias Hidrográficas do Estado de Santa Catarina, a rede hidrográfica do Estado é constituída por dois sistemas independentes de drenagem: sistema integrado da vertente do interior, onde destacam-se as bacias Paraná e Uruguai, e sistema da vertente atlântica, formado por um conjunto de bacias isoladas. Estes sistemas de drenagem tem como divisor a serra Geral e na porção norte do estado, a serra do Mar. Desta forma as águas drenadas pelas bacias do Rio Uruguay e do Rio Itajaí-Açu, escaram no sentido contrário, e tem deságüe no Atlântico.

10.1.4.1 Hidrografia regional

Para elaborar o diagnóstico dos recursos hídricos da área proposta para instalação de coletas de informações e dados.

10.1.4 Recursos hídricos

Analisando-se a figura 10.19, destaca-se alguns aspectos como por exemplo, em nenhum momento a linha vermelha que representa o excedente, fica acima da linha azul, que representa a precipitação, confirmando a classificação climática da região que indica que não há déficit de água. Outro fato relevante, nota-se nos meses de verão (dezembro a maio) há um aumento considerável na evapotranspiração potencial, podendo gerar algum déficit de água em regiões isoladas que por fatores meteorológicos adversos vêm a passar por períodos de estiagens muito prolongados meses.

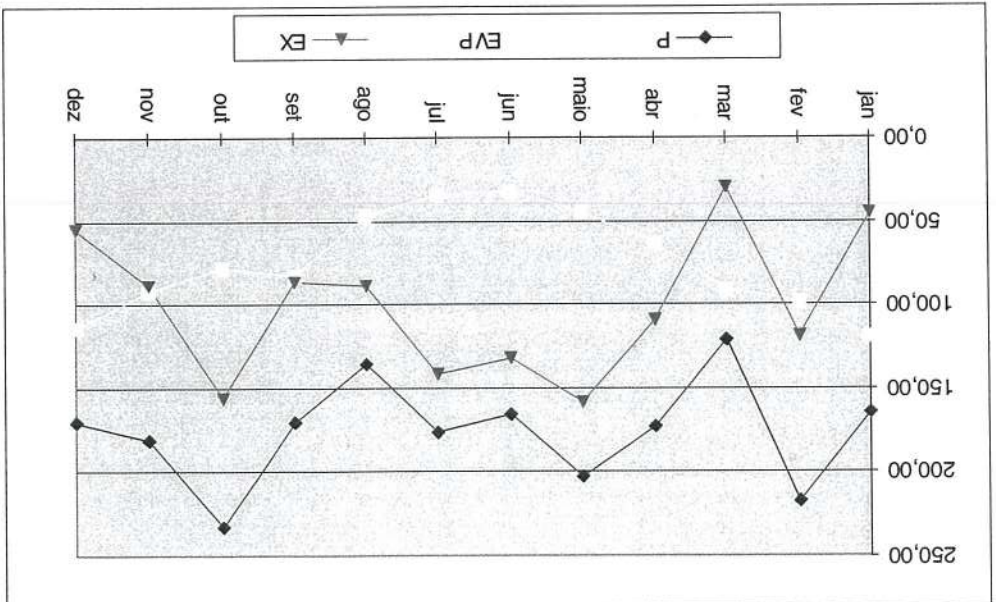


Fig. 10.19 - Balanço hídrico da cidade de Chapecó

Com relação aos aspectos sanitários, segundo o levantamento efetuado pela Empresa de Pesquisas Agropecuária e Extensão Rural de Santa Catarina – Epagri, no projeto de Microbacias/ BIRD, 1996, na bacia hidrográfica do Rio Monte Allegre encontra-se treze comunidades. Juntas, estas comunidades reúnem 285 famílias, as duas, na sua maioria desenvolvidas em atividades agropecuárias, com destaque para as culturas de mandioca milho soja e as cítricas de aves, suínos e bovinos de corte.

- declividade média aproximadamente igual a 3%;
 - largura média igual a 7 m e profundidade média de 1,5m;
 - vazão média de estagagem para o setimo dia de um tempo de recorrência de dez anos (Q_{10}) é 93,76 L/s;
 - é turbulento, com boa capacidade de aerágão superficial;
 - águas turvas.

O rio Monte Allegre apresenta um curso com desenvolvimento apoximado de 14,6 Km e qual finda no Rio Uruguai. Ao longo de seu leito formam identificados 13 afluentes, sendo que a maioria é de escamamento não perene (carta cartográfica, Ref.: 1), perfazendo uma extensão total de drenagem de apoximadamente 59,6 Km. Na figura 10.20 é apresentada a carta cartográfica da bacia hidrográfica do rio Monte Allegre.

10.1.4.2 Rio Monte Allegre

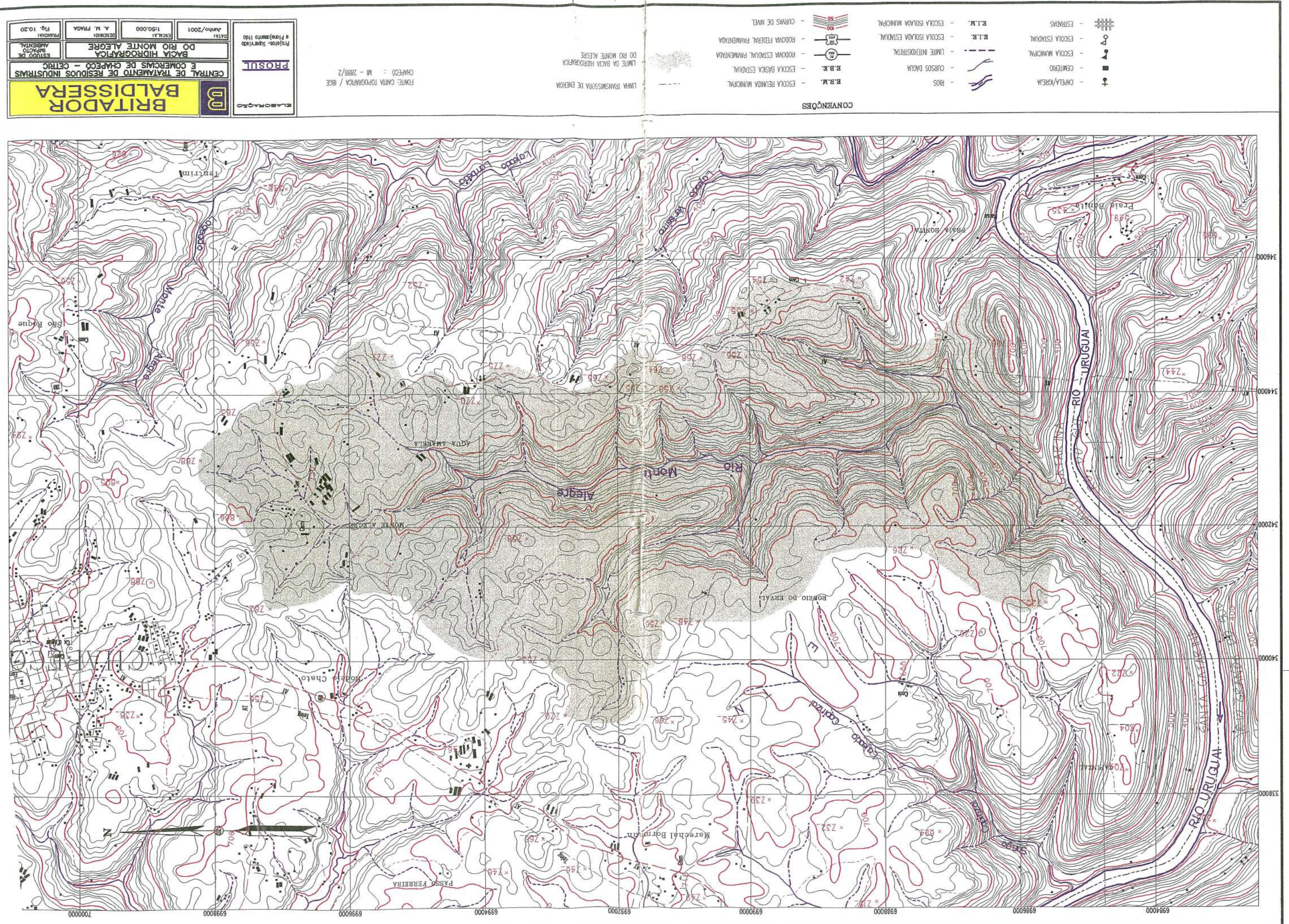
Observando os regimes invernos dos nos caranhenses, pode-se concluir, que via de regra, são um reflexo da boa regularidade de distribuição da pluviometria que ocorre na região, onde a inexistência de deficit hídrico leva a um abastecimento normal dos mananciais durante todo o ano. Porém pode-se distinguir as épocas de máximas, que acontece na primavera e no final do verão, e as mínimas vazões registradas no início do verão, nos outono, prolongando-se até o inverno, como é característico das regiões de clima subtropical.

O sistema da vertente do interior, onde está inserido Chapecó, ocupa uma área de 60.123 Km², equivalente a 63 % do território catarinense. Neste sistema destaca-se a bacia do Uruguai com 49.573 Km², e uma extensão de 2.300 Km da cabeceria principal à foz do rio Peperi-Guaçu. Esta bacia é composta pelas seguintes sub-bacias principais: Peperi-Guaçu, das Antas, Chapecó, Irami, Jacutinga, do Peixe, Canoas e Pelotas. Faz parte do mesmo sistema a bacia do rio Iguaçu, com área de 10.612 Km², apresentado como princípio sub-bacias as dos rios Negro e Camaquins. Na vertente do interior os rios apresentam, via de regra, seus perfeitos longitudes com longo percurso e ocorrência de inúmeras quedas d'água, o que representa para a região um importante potencial hidroenergético.

O saneamento básico nestas regiões é precário, assim como a assistência social, no sentido de orientar as comunidades da imprensa de proteger a qualidade ambiental na região onde residem. Foi constatado que um número significativo de propriedades lares seus esgotados sanitários *in natura* no solo ou em alguma curva d'água, os resíduos sólidos domiciliares, entre elas embalagens de agrotóxicos, na maioria são enterrados ou queimados ou ainda dispostos proximamente de cursos d'água, entre outras situações que vêm a prejudicar a qualidade de vida dos cidadãos.

Ao longo do seu curso não foi observado nenhum lagoamento pontual, de alguma fabrica ou estabelecimento comercial, que tivesse importância significativa.

E apresentado na figura 10.21, um mosaico, com a localização tridimensional dos recursos hídricos superficiais próximos à área escolhida (área I).





- LIMITE DA BACIA HIDROGRÁFICA
DO RIO MONTE ALEGRE

ELABORAÇÃO
PROSUL
Projetos, Supervisão
e Planejamento Ltda

B **BRITADOR BALDISSERA**
CENTRAL DE TRATAMENTO DE RESÍDUOS INDUSTRIAS
E COMERCIAIS DE CHAPECO - CETRIC
PONTOS AMOSTRADOS NO
RIO MONTE ALEGRE
ESTUDO DE
IMPACTO
AMBIENTAL
DATA: Junho/2001 ESCALA: 1:50.000 DESENHO:
A. M. FRAGA PRANCHAS: Fig. 10.22

PROSUL

10.1.4.2.1 Classificação dos recursos hídricos

Para garantir o uso múltiplo dos recursos hídricos, são estabelecidas diferentes classes de qualidade. Cada classe é caracterizada com limites máximos de concentração, especialmente para substâncias químicas. Esses limites são o critério para o uso dos rios, tanto para a garantia do meio ambiente quanto para o lazer ou mesmo como corpo receptor de efluentes.

Segundo a Legislação Ambiental Básica do Estado de Santa Catarina, Portaria NR 0024/79 o rio Uruguai e o seu afluente, o rio Monte Alegre são enquadrados como classe 2.

As águas de classe 2 são destinadas ao abastecimento doméstico, após tratamento convencional; à proteção das comunidades aquáticas; à recreação de contato primário; à irrigação de hortaliças e plantas frutíferas; à criação natural e/ou intensiva (aqüicultura) de espécies destinadas à alimentação humana.

10.1.4.2.2 Qualidade das águas do rio Monte Alegre

A qualidade da água de um manancial é reflexo do uso que se faz dele, assim como do solo das proximidades de suas margens.

Para verificar a qualidade das águas do rio Monte Alegre e as suas condições sanitárias, foram efetuadas campanhas de coleta de amostras em vários pontos ao longo de seu percurso. As coletas de amostras e as análises laboratoriais foram efetuadas pelo Laboratório de Análises de Água – Centro de Pesquisas para Pequenas Propriedades – Epagri e pelo Laboratório de Análises Químicas da Unisul/Tubarão,S.C..

A localização dos pontos amostrados é apresentada na figura 10.22 e uma tabela resumo dos resultados em seguida.